

ثالثاً - التقنيات السيسزمية الجيوفندينجية (أساليب جديدة لطرق العمل ومنهجيته)

كما ور أعلاه فإن:

١- الأمواج السيسزمية (Seismic Waves).

عند حدوث زلزال في منطقة ما فإن الطاقة السيسزمية المتحركة تنتشر على شكل أمواج سيسزمية متعددة وتتحرك بطرق مختلفة من المركز إلى جميع الاتجاهات في الوسط المحيط بها، وتنقسم الأمواج السيسزمية الرئيسية إلى مجموعتين رئيسيتين اعتماداً على أساس مرورها من بنية الأرض هما:

١-١-٢: **الأمواج الجسمية (Body Waves)**, ينتقل وينتشر هذا النوع من الأمواج إلى بنية الأرض الداخلية، وينقسم إلى قسمين اعتماداً على سلوك الأمواج خلال انتقالها داخل بنية الأرض.

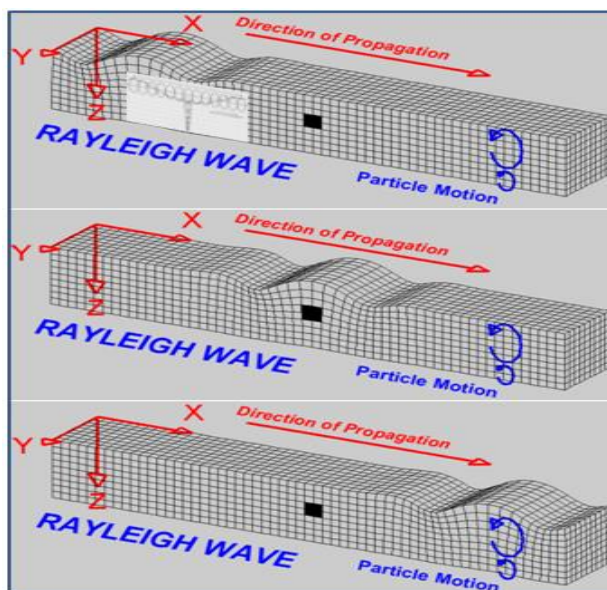
(أ) **الأمواج الأولية (P-Waves)**. (ب) **الأمواج الثانوية (S-Waves)**. تم شرحها أعلاه.

٢-١-٢: **الأمواج السطحية (Surface Waves)** وتنقسم إلى قسمين؛ هما:

(أ) **أمواج لوف (Love Waves)** سميت عام ١٩١١ من قبل لوف (Love), إذ تتحرك الجسيمات حركة عرضية بالتناوب بشكل متزامن مع اتجاه انتشارها، مع تناقص في سعتها مع العمق ورجوع مادة الوسط إلى وضعها الأصلي بعد مرور أمواج لوف، وهي التي يشعر بها أكثر الناس عند حدوث زلزال، وتشتمل أمواج لوف مع الأمواج الثانوية أفقية الحركة (SH) وبدون إزاحة عمودية.

(ب) **أمواج رايلى (Rayleigh Waves)** سميت بهذا الاسم لأول مرة عام ١٨٨٥ من قبل رايلى (Lord Rayleigh) تختصر أهم خصائص أمواج رايلى بما يلي:

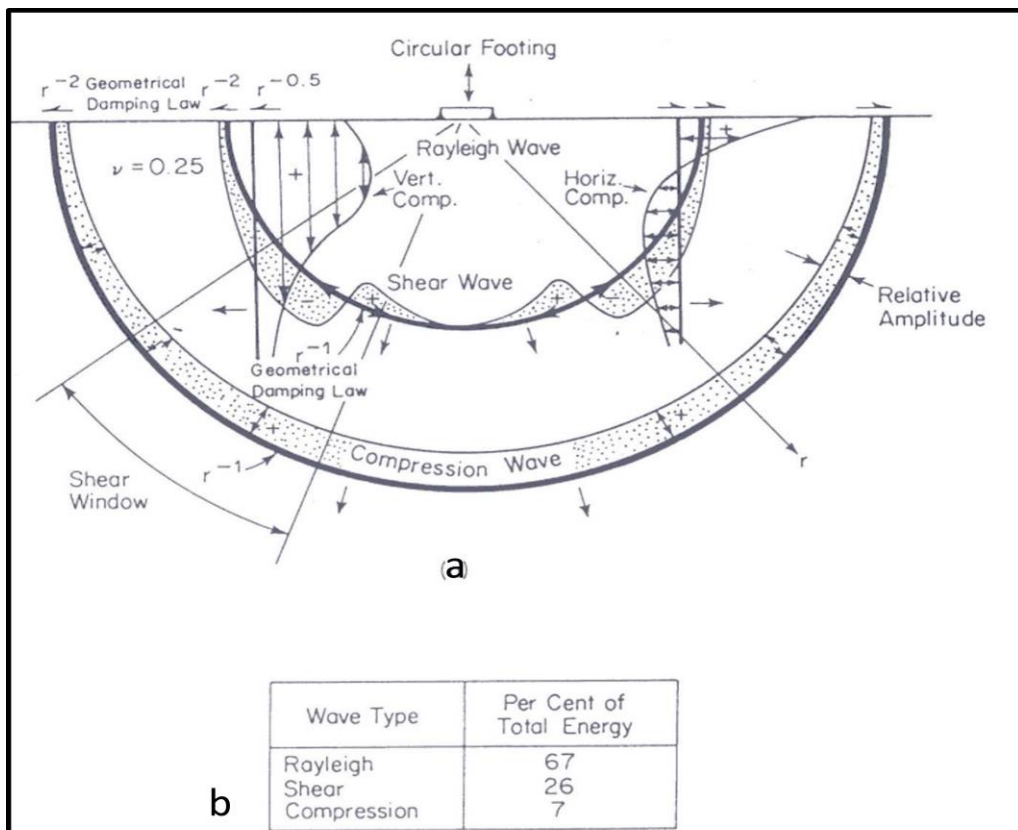
- حركة الجسيمات لأمواج رايلى ليست حركة أفقية فقط أو موازية لاتجاه انتشارها، ولكنها تتحرك حركة مركبة من النوعين معاً، فينتج منها حركة بيضوية الشكل في مستوى عمودي ويوافي هذا المستوى اتجاه انتشار أمواج رايلى، مع تناقص في سعتها مع العمق الشكل (13).



الشكل (13) حركة الجسيمات واتجاه انتشار أمواج رايلى وتخامتها.

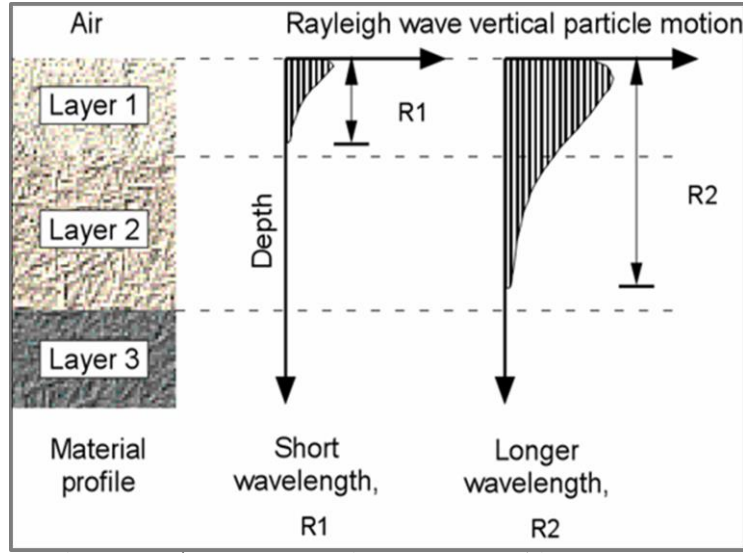
- يوضح الشكل (14a) الأمواج السيزمية المختلفة التي تنشأ في وسط متجانس المرونة وتوزيع طاقتها عندما يكون نسبة بواسون يساوي (0.25) عند استخدام الطرق العمودي على البلاطة المستخدمة كمصدر طاقة زلزالية ، وتشكل أمواج رايلي ثلثي المجموع الكلي لطاقة الأمواج السيزمية في أثناء المسح السيزمي ، أي (67%) من الطاقة السيزمية سيتحول إلى أمواج رايلي عند استخدام الطرق العمودي كمصدر طاقة زلزالية، كما في الشكل (14b).

- تتناقص سعة أمواج رايلي تدريجياً بزيادة المسافة (r) عن المنبع بمقدار يساوي ($1/r$) ، في حين تتناقص سعة الأمواج الجسمية بشكل مفاجئ بزيادة المسافة بمقدار يساوي ($1/r^2$) ، وذلك اعتماداً على شكل مقدمة الموجة (Wavefront) حيث إن مقدمة الموجة للأمواج الجسمية كروية الشكل، ومقدمة الموجة لأمواج رايلي أسطوانية الشكل، لذا فإن أمواج رايلي ملموسة وأكثر وضوحاً واهتزازاً من الأمواج الجسمية عند مسافات كبيرة عن المنبع.



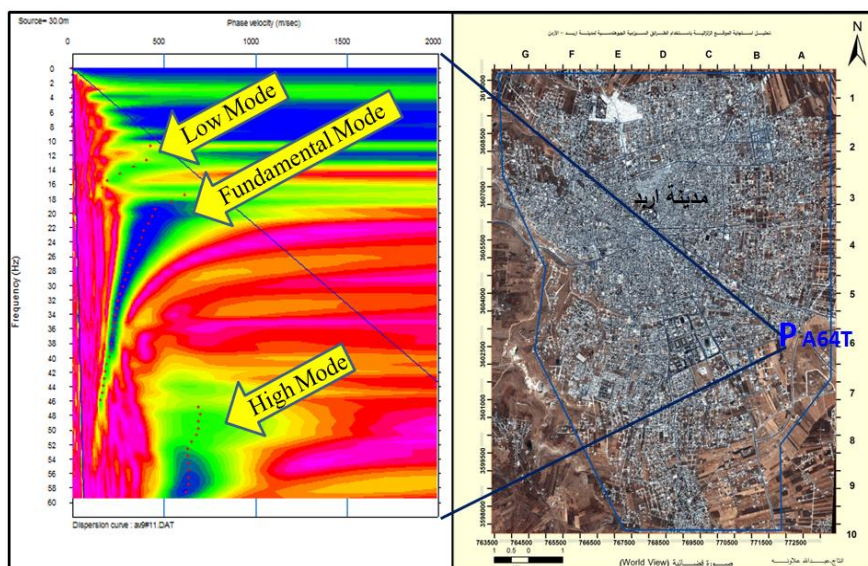
الشكل (14) الأمواج السيزمية الناتجة من مصدر طاقة عمودي ونسبتها المئوية.

تتخدم سعة أمواج رايلي مع العمق من سطح الأرض وتصل إلى أعماق تساوي طولها الموجي ويوضح الشكل (15) عمق اختراق أمواج رايلي في الطبقات السطحية اعتماداً على خصائص المواد المكونة للطبقات، إذ يصل عمق الاختراق إلى ١ - ٢ ضعف الطول الموجي لأمواج رايلي، إذ إن العمق الذي تصل إليه الأمواج ذات الطول الموجي القصير أقل من العمق الذي تصله الأمواج الطويلة، وتعكس الخصائص السيزمية والجيوتقنية للطبقات السطحية التي تختلف عنها وتصل إليها.

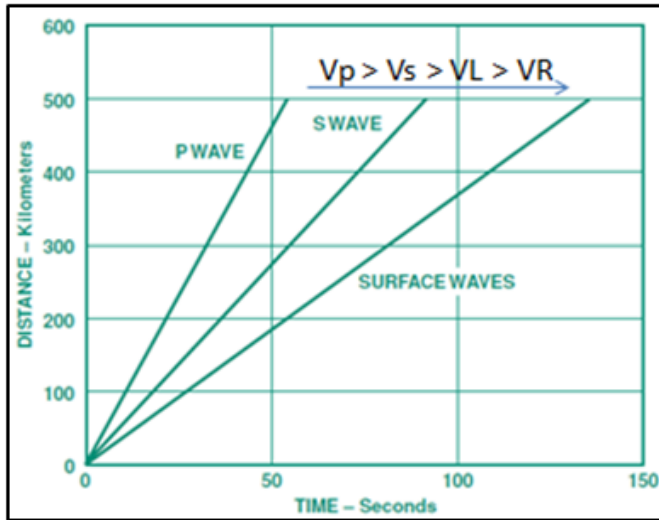


الشكل (15) حركة أمواج رايلي العمودية وعمق الاختراق للأطوال الموجية

يحدث تشتت (Dispersion) لأمواج رايلي عند انتقالها خلال الوسط غير متجانس الخصائص وذلك بسبب تغير سرعة أمواج رايلي مع تغير طولها الموجي، وعند انتقالها في وسط متجانس لا يحدث لها تشتت أي بمعنى تنتقل بسرعة ثابتة مع تغير أطوالها الموجية، أما في الطبقات السطحية يحدث تشتت لأمواج رايلي بأوضاع متعددة (Fundamental Mode, High Freq. Mode, Lo Freq. Mode) كما في الشكل (16)، وتم دراسة تشتت الأمواج السطحية (خاصة أمواج رايلي بأوضاعها المختلفة من قبل العديد من الباحثين، بافتراض نقطة ما تبعد مسافة ٥٠٠ كم عن بؤرة زلزال، فإن الأمواج الأولية تصل إلى النقطة أولاً ثم الثانوية (بطاقتיהם الصغيرة)، ثم أمواج لوف وأمواج رايلي على الترتيب (بطاقتיהם المدمرة) كما في الشكل (17)، لذا يمكن الاستفادة من وصول الأمواج الجسمية في توقيع وقت وصول الأمواج السطحية، وتظهر الأمواج الجسمية عندما يكون وسط منخفض السرعة يعلو وسط عالي السرعة (مثل تربة زراعية منخفضة السرعة تعلو تربة غضارية عالية السرعة).



الشكل (16) الأوضاع المختلفة لنشتت أمواج رايلي في أحد بروفيلاط منطقة الدراسة.



الشكل (17) ترتيب الأمواج السيسزمية حسب سرعة وصولها.

٢-٢: علاقة أمواج رايلي بسرعة الأمواج (القصبة) العرضية.

تستخدم أمواج رايلي على نطاق واسع في تحديد واكتشاف الخصائص الديناميكية والتركيبية للطبقات السطحية ومعاملات المرونة، وذلك لأن استخدام أمواج رايلي يعد من الطرق غير التدميرية بالإضافة إلى سهولة تكوينها ونشأتها في الأعمال الحقلية السيسزمية، ويُستخدم تشتت أمواج رايلي في تحديد سرعة الأمواج (القصبة) العرضية للطبقات السطحية القريبة، ووضح ريتشارت (Richart) عام ١٩٧٠ العلاقة بين سرعة انتشار أمواج رايلي مع سرعة الأمواج (القصبة) العرضية في الوسط المرن، كما في العلاقة الرياضية التالية رقم (١):

$$\left(\frac{V_R}{V_s}\right)^6 - 8\left(\frac{V_R}{V_s}\right)^4 + \left(24 - 16\frac{1-2\sigma}{2-2\sigma}\right)\left(\frac{V_R}{V_s}\right)^2 + 16\left(\frac{1-2\sigma}{2-2\sigma} - 1\right) = 0 \quad (1)$$

حيث إن (VR) سرعة أمواج رايلي، (VS) سرعة الأمواج (القصبة) العرضية، (σ) نسبة بواسون. كما أن نسبة بواسون تحسب وفق المعادلة التالية:

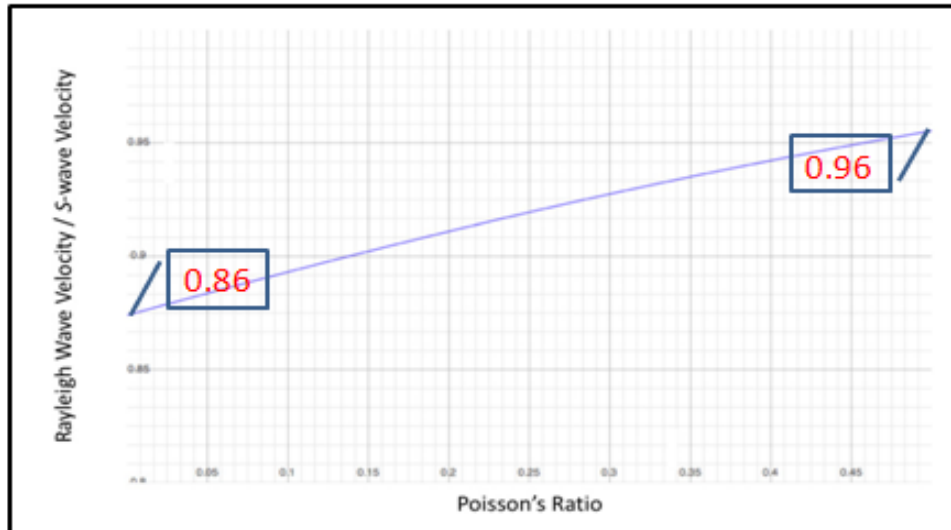
$$\sigma = \frac{V_p^2 - 2V_s^2}{2(V_p^2 - V_s^2)} \quad (2)$$

الشكل (١٨) يوضح العلاقة بين كل من (VR/VS) ونسبة بواسون، إذ إن سرعة أمواج رايلي تساوي ($0.86 - 0.96$) من الأمواج (القصبة) العرضية، عند نسبة بواسون ($0.05 - 0.00$) على الترتيب كما يتضح في المعادلتين التاليتين:

$$VR = \left\{ \frac{0.86 + (1.14\sigma)}{1 + \sigma} \right\} \times VS \text{ m/s} \quad (3)$$

بتعويض نسبة بواسون في المعادلة (٣) نجد أن:

$$VR = (0.86 - 0.96) \times VS \text{ m/s} \quad (4)$$



الشكل (١٨) نسبة سرعة أمواج رايلى إلى سرعة الأمواج (القصبة) العرضية مع نسبة بواسون

٢-٣: الطائق السيزمية المستخدمة في الأعمال الحقلية السيزمية.

هناك العديد من الطائق السيزمية التي يمكن استخدامها في الأعمال الحقلية للحصول على المعطيات السيزمية اللازمة في الدراسات الجيوفísية والهندسة الزلزالية وإيجاد الحلول المناسبة للكثير من المشاكل في تصميم المبني والمنشآت، على سبيل المثال **الطريقة الانكسارية (Refraction)** التي تستهلك وقتاً كبيراً في عملية جمع المعطيات السيزمية وتحليلها، بالإضافة إلى تكلفتها المالية العالية، حيث تحتاج إلى استخدام مجموعتين من اللواقط الطولية لقياس أعمق الطبقات، واللواقط العرضية لتحديد سرعة الامواج (القصبة) العرضية، عدا أنها غير قادرة على كشف الطبقات المخفية (hidden layers) ويطلب التحري لأعماق كبيرة إعداد بروفيلاط طويلة ومنبع سيزمي صنعي طاقته كبيرة، وهذا غير متوفّر في المدن والمناطق الحضرية ذات المساحات الصغيرة والمحدودة، بالإضافة إلى الضجيج والتشویش غير المرغوب بهما في أثناء التحري السيزمي والناتج من حركة المرور النشطة وغيرها، وفي هذا الفصل تم استخدام طريقة تحليل متعدد القنوات للأمواج السطحية (MASW) لجمع المعطيات السيزمية، والتي يعتمد أساس تقنيتها على تشتت أمواج رايلى السطحية ذات الأطوال الموجية المختلفة عند انتقالها في الطبقات والتربة القريبة من السطح بسرعات مختلفة.

٢-٣-١ - طريقة تحليل متعدد القنوات للأمواج السطحية (Multichannel Analysis of Surface Waves)

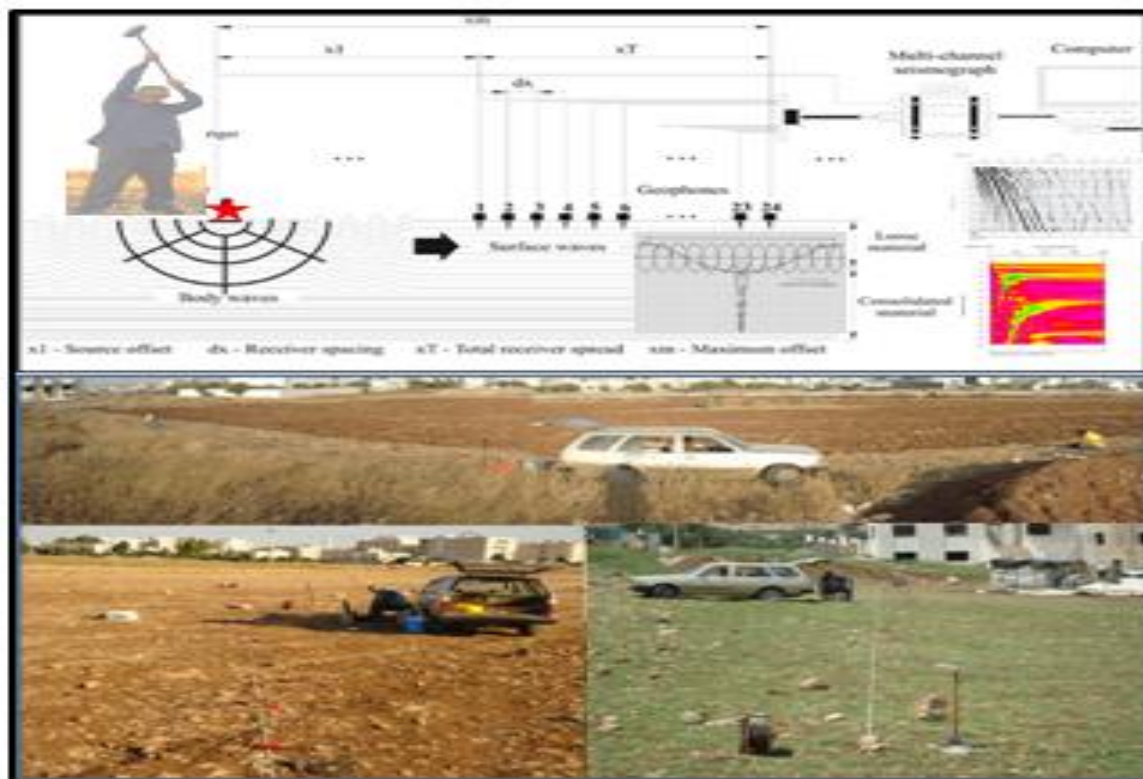
بدأ فعلياً مشروع تطوير طريقة تحليل متعدد القنوات في بداية التسعينيات (1999s) من قبل الجيوفísائيين الذين يعملون في المسح الجيوفísي (Kansas) والذين استفادوا من خبراتهم الطويلة في استخدام الطريقة السيزمية الانكسارية للكشف عن البترول بعمق عدة كيلومترات، ظهر مصطلح (MASW) لأول مرة في المنشور الصادر في الفيزياء عام (١٩٩٩) من قبل بارك وأخرين.

يستخدم في طريقة تحليل متعدد القنوات عادة أكثر من ١٢ لاقطاً طولياً أو راسياً مثبتة مع سطح الأرض بإحكام وعلى مسافات متساوية، ومتصلة بجهاز سيزموغراف، وتتمثل تجهيزات طريقة تحليل متعدد القنوات وإعداداتها الأساسية مع تجهيزات وإعدادات طريقة المسح السيزمي للأمواج الجسمية انظر الشكل (١٩)، لكن مع وجود اختلاف بسيط في بعض المعايير والتجهيزات، الجدول (2) ومنها:

الجدول (2) التجهيزات والإعدادات الحقلية لطريقة تحليل متعدد القواع (ماسو).

Depth (Z _{max}) ¹ (m)	Source (S) ² (lb)	Receiver (R) ³ (Hz)	Receiver Spread (RS) (m)				SR Move (dx)			Recording ⁸			
			Length ⁴ (D)	Source Offset ⁵ (X ₁) 24-ch [*]	Receiver Spacing (dx) 48-ch ⁶	Lateral Resolution ⁷			dt ⁸ (ms)	T ¹⁰ (sec)	Vertical Stack ¹¹		
						High	Medium	Low			C	N	VN
≤ 1.0	≤ 1	4.5-100	1-3	0.2-3.0	0.05-0.1	0.02-0.05	1-2	2-4	4-12	0.5-1.0	0.5-1.0	1-3	3-5 5-10
	[1]**	[40]	[2.0]	[0.4]	[0.1]	[0.05]	[1]	[2]	[4]	[0.5]	[0.5]	[3]	[5] [10]
1-5	1-5	4.5-40	1-15	0.2-15	0.05-0.6	0.02-0.3	1-2	2-4	4-12	0.5-1.0	0.5-1.0	1-3	3-5 5-10
	[5]	[10]	[10]	[2]	[0.5]	[0.25]	[1]	[2]	[4]	[0.5]	[0.5]	[3]	[5] [10]
5-10	5-10	≤ 10	5-30	1-30	0.2-1.2	0.1-0.6	1-2	2-4	4-12	0.5-1.0	0.5-1.0	1-3	3-5 5-10
	[10]	[4.5]	[20]	[4]	[1.0]	[0.5]	[1]	[2]	[4]	[0.5]	[1.0]	[3]	[5] [10]
10-20	≥ 10	≤ 10	10-60	2-60	0.4-2.5	0.2-1.2	1-2	2-4	4-12	0.5-1.0	1.0-2.0	1-3	3-5 5-10
	[20]	[4.5]	[30]	[10]	[1.5]	[1.0]	[1]	[2]	[4]	[0.5]	[1.0]	[3]	[5] [10]
20-30	≥ 10	≤ 4.5	20-90	4-90	0.8-3.8	0.4-1.9	1-2	2-4	4-12	0.5-1.0	1.0-2.0	1-3	3-5 5-10
	[20]	[4.5]	[50]	[10]	[2.0]	[1.5]	[1]	[2]	[4]	[1.0]	[1.0]	[3]	[5] [10]
30-50	≥ 10 [20]	≤ 4.5	30-150	6-150	1.2-6.0	0.6-3.0	1-2	2-4	4-12	0.5-1.0	1.0-3.0	1-3	3-5 5-10
	or passive	[4.5]	[70]	[15]	[3.0]	[2.0]	[1]	[2]	[4]	[1.0]	[1.0]	[3]	[5] [10]
> 50	≥ 10 [20]	≤ 4.5	> 50	> 10	> 2.0	> 1.0	1-2	2-4	4-12	0.5-1.0	≥ 1.0	1-3	3-5 5-10
	or passive	[4.5]	[150]	[30]	[6.0]	[4.0]	[1]	[2]	[4]	[1.0]	[2.0]	[3]	[5] [10]

(¹) العمق الأقصى للتحري. (²) وزن المطرقة. (³) التردد الطبيعي للواقي. (⁴) طول البروفيل الكلي. (⁵) بعد مصدر الطاقة السيسمي (x1). (⁶) المسافة بين الواقي (dx). (⁷) درجة الوضوح جانبياً. (⁸) معابر التسجيل للسيزموغراف. (⁹) الفاصل الزمني للعينات (ms). (¹⁰) وقت التسجيل الكلي (s). (¹¹) عدد ضربات التكديس العمودي للبيانات.



الشكل (١٩) رسم توضيحي وصور ميدانية للإعدادات الحقلية لطريقة تحليل متعدد القواع.

(أ) طريقة تحليل متعدد القنوات النشطة (Active MASW)

وفي وقت مبكر من مطلع القرن الواحد والعشرين (2000s) تطورت طريقة تحليل متعدد القنوات النشطة حتى أصبحت طريقة شعبية الاستخدام من قبل المهندسين الجيوتقنيين في الدراسات الجيوتكنولوجية والهندسة الزلزالية للأسباب التالية:

- ١) تعد من الطرق السيسزمية غير التدميرية (أي منبعها السيسزمي آمن) وصديقة للبيئة.
- ٢) تختصر التكلفة المالية والوقت والجهد.
- ٣) تقنيتها سهلة التنفيذ والتطبيق في المناطق الحضرية ذات الضجيج وحركة المرور النشطة.
- ٤) دقة نتائجها ومطابقتها مع المعطيات السيسزمية المسجلة من السبور حسب الدراسات.
- ٥) تزودنا بمقاطع لسرعة الأمواج العرضية حتى عمق ٣٠ م وأكثر من سطح الأرض.
- ٦) تعد طريقة سريعة في تحديد وتقييم السرعة الوسطية للأمواج (القصبة) العرضية؛ وذلك لأن:
- عمق التحري السيسزمي المطلوب مضمنون بإجراء عملية واحدة لتوليد أمواج رايلي السطحية أو أكثر دون تغيير تجهيز الواقع.

- احتواء الحقل الموجي (wave field) على الأمواج الجسمية والأوضاع عالية التردد (High freq. mode).
- يمكن تحديد أمواج رايلي بسهولة وفصلها عن الأمواج الأخرى عند استخدام طريقة متعددة القنوات، والحصول على نتائج دقيقة.

تقسم طريقة تحليل متعدد القنوات النشطة إلى قسمين اعتماداً على نوع منبع الطاقة السيسزمي، وتقنية معالجة المعطيات السيسزمية لبناء منحنى التشتت، وهما:

- ١- طريقة تحليل متعدد القنوات باستخدام منبع نبضي (Implusive Source).
- ٢- طريقة تحليل متعدد القنوات باستخدام منبع رجي اهتزازي (Vibroseis Source).

(ب) طريقة تحليل متعدد القنوات غير النشطة (Passive MASW).

من عيوب طريقة تحليل متعدد القنوات النشطة أن عمق التحري الأقصى فيها محدود ١٥ - ٣٠ م، ومرتبط بطاقة المنبع لذلك تحتاج إلى طاقة نشطة كبيرة (سقوط كتلة) لزيادة درجة الهرتز عند نهاية التردد المنخفض في منحنى التشتت مما يؤدي إلى زيادة عمق التحري أضعافاً، مما يجعل استخدام طريقة تحليل متعدد القنوات النشطة غير كافية للحصول على عمق الاختراق المطلوب.

من ناحية أخرى، إن الأمواج السطحية (معظمها أمواج رايلي) الناتجة عن الحركة والمصادر الطبيعية (المد والجزر، الرياح، و المياه الانهار)، أو عن الأنشطة الصناعية (حركة المرور، الصناعات)، تمتاز بالترددات المنخفضة (١٠ - ٣٠ Hz)، والأطوال الموجية الكبيرة التي تتراوح من الكيلومترات (المصادر الطبيعية) إلى عشرات أو مئات الامتار (المصادر الصناعية)، لتوفير أعمق اختراق كبيرة.

طورت هذه الطريقة أولاً في اليابان وسميت:

طريقة المسح الدقيق (Microtremore Survey) وكانت تعتمد على أقل من عشرة لواقط،
وفيما بعد سميت: **طريقة القياس الدقيق (Microtremore Array Measurement /MAM)**.
لوري (Louie) أول من أدخل طريقة تحليل متعدد القنوات غير النشطة الخطية وسماها:

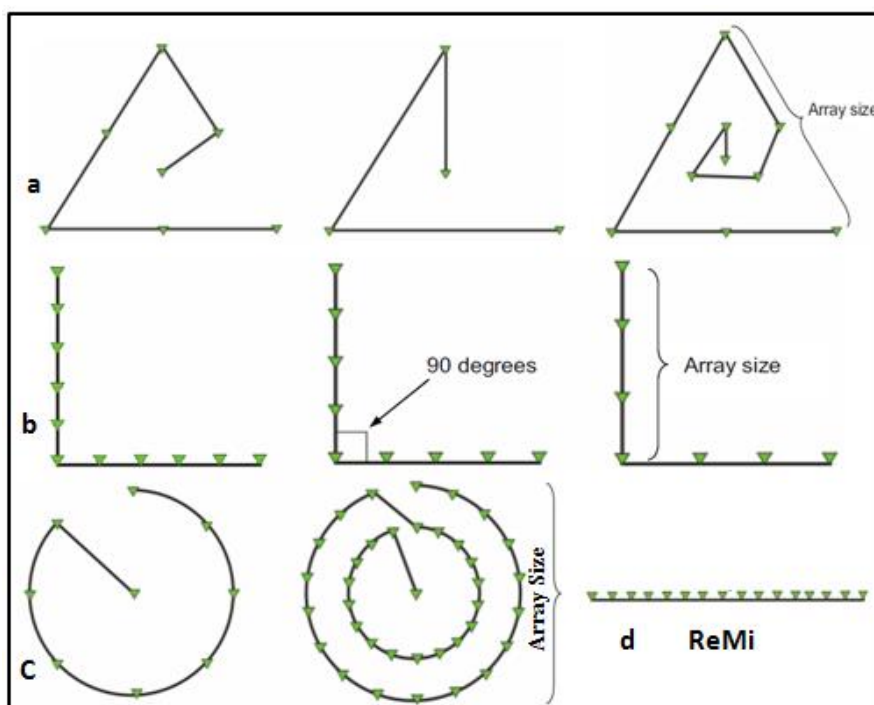
بالطريقة الانكسارية الدقيقة (Refraction Microtremor/ReMi)، والتي تستخدم في الدراسات الجيوفيدية
مختلفة الأهداف والتي تتطلب أعمقًا أكبر من 15 م، وتعتمد على تسجيل الأمواج السطحية (رايلي) الناتجة من المصادر
الطبيعية والصناعية، وتعتمد تقنيتها على فكرتين أساستين:

١) تتشابه مع إعدادات الطريقة السismية الانكسارية من حيث ترتيب الـ لواقط فقط.

٢) سهولة فصل أمواج رايلي من الأمواج السismية السطحية الأخرى المسجلة في عملية التحليل.

ثم طورت كل هذه الطرق لاحقًا لتصبح نوعاً من طريقة تحليل متعدد القنوات غير النشطة ، والتي تستخدم ٤ لاقطاً
طوليًا أو أكثر للاستفادة الكاملة من تسجيلات ومعالجة تحليل متعدد القنوات.

وتنقسم طريقة ماسوا غير النشطة إلى قسمين اعتمادًا على الشكل الناتج من ترتيب الـ لواقط؛ ثانية الأبعاد الشكل
(20a,b,c)، مثل الدائرة المثلث وحرف (L) ويفضل أن يكون تماثل في شكلها، لأن عدم التماثل يؤدي إلى انحياز النتيجة
باتجاه معين لا يتطابق مع الاتجاه الفعلي لطاقة الأمواج السطحية الرئيسية وأحادية البعد (خطية) الشكل (20d) والمعروفة
بالطريقة الانكسارية الدقيقة (ReMi) حيث إن طول ضلع التشكيل أو طول البروفيل له علاقة بالطول الموجي الأكبر
(λ_{max}) وعمق التحرى الأقصى، أما المسافة بين الـ لواقط فلها علاقة بالطول الموجي الأصغر (λ_{min}) وعمق التحرى
القريب من السطح.



الشكل (20) أنواع طريقة تحليل متعدد القنوات غير النشطة.

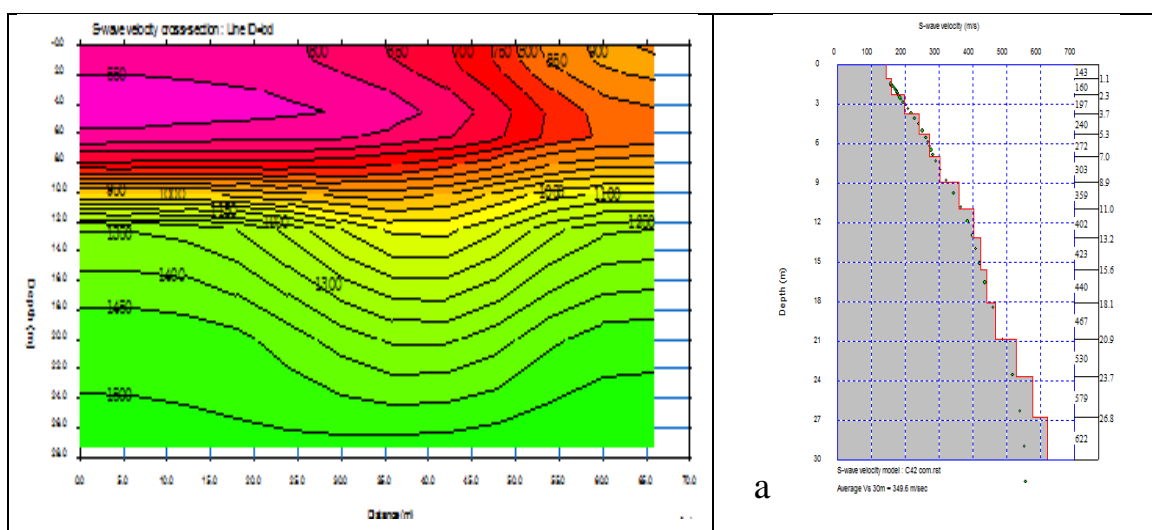
٤-٢ طرائق معالجة المعطيات السismية.

هناك العديد من البرمجيات التي تستخدم لتحليل المعطيات السزمية المسجلة باستخدام طريقة تحليل متعدد القنوات، وجميعها تعتمد في عملية التحليل لطور سرعة أمواج رايلي على خاصية التشتت التي تميز فيها الأمواج السطحية، بالإضافة إلى سهولة تحديد أمواج رايلي باستخدام طريقة تحليل متعدد القنوات والحصول على نتائج دقيقة، وتستخدم الوضع الأساسي (Fundamental-Mode) لأمواج رايلي في عملية التحليل لأنها يمتلك الطاقة الأكثر مقارنة مع الأمواج الأخرى، ولا يتم تسجيل أمواج لوف السطحية لأن جسيماتها تهتز أفقياً، لذا يحتاج تسجيلها إلى لواقط أفقية ومثال ذلك البرمجيات:

برمجية سيرف سايز (SurfSeis)، وبرمجية سايز إمجر (SeisImager)، وبرمجية ون سايز (WinSeis) وهناك العديد من البرامج الحديثة المطورة. المبدأ الأساس لطريقة MASW:

تتمثل طريقة تحليل متعدد القنوات النشطة وغير النشطة في عملية معالجة المعطيات السزمية وتحليلها والتي تتم بالمراحل والخطوات التالية:

- ١- فتح ملف السزمومغرام للأمواج السطحية المسجل بلاحقة (Seg2).
- ٢- حساب سرعة طور أمواج رايلي (Phase velocity)، إذ إن انتقال الأمواج بسرعات مختلفة عند كل طول موجي خلال عبورها للطبقات نتيجة لتغير ترددتها، يسمى سرعة الطور ويمكن حسابه من خلال الميل الخطي المميز لكل مركبة طول موجي (أمواج رايلي) عند الترددات ذات السعة العالية في الوسط المتباين.
- ٣- بناء منحنى التشتت لأمواج رايلي (Dispersion Curve) أوتوماتيكيا، بعد تصفيته وفصله من الأمواج الأخرى بسهولة أوتوماتيكيا باستخدام تقنية (SPAC)، حيث إن منحنى التشتت هو رسم بياني يمثل العلاقة بين سرعة طور أمواج رايلي وترددتها على طريقة مجال التردد (Freq.-Domain) عند استخدام منبع الطاقة النبضي.
تُعد مرحلة بناء منحنى التشتت الأكثر تعقيداً في عمليات التحليل لأن دقة المقطع النهائي لسرعة الأمواج العرضية مع العمق تعتمد على دقة بناء منحنى التشتت.



الشكل (21) مقطع للسرعة الوسطية للأمواج (القصبة) العرضية: احادية البعد (a) وثنائية البعد (b).

٤- أوتوماتيكيا إعادة حساب سرعة الأمواج (القصبة) العرضية من خلال عملية قلب (Inversion) منحني التشتت والحصول على مقاطع السرعة للأمواج العرضية للطبقات مع العمق عند منتصف البروفيل ،أحادية البعد كما في الشكل (21a)، أو ثنائية البعد كما في الشكل (21b).

يتم تكرار عملية قلب منحني التشتت لأمواج رايلي للحصول على السرعة العرضية بشكل آلي.

٢-٥- تطبيقات طريقة تحليل متعدد القنوات واستخداماتها.

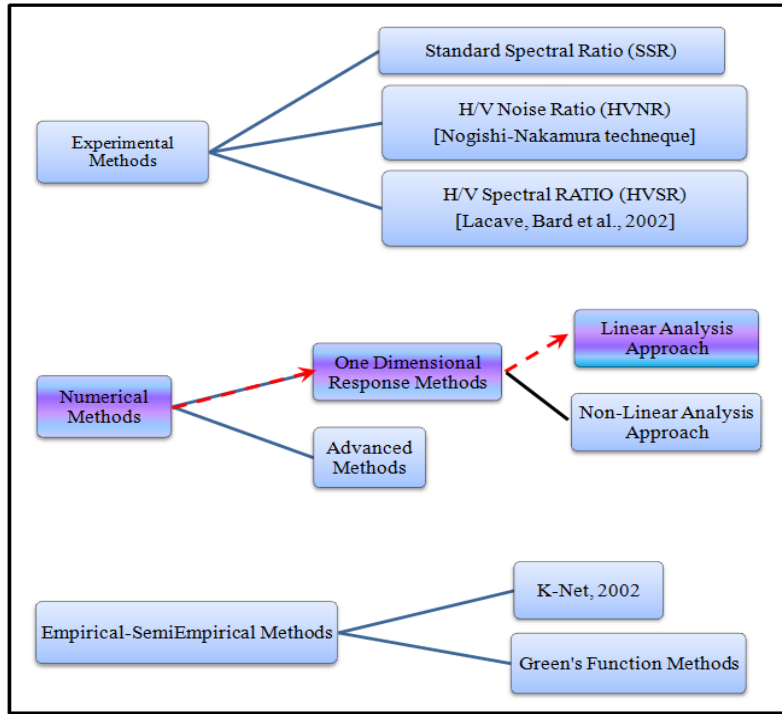
في السنوات الأخيرة استخدمت طريقة تحليل متعدد القنوات بنجاح في العديد من المشاريع والدراسات الجيوفизيائية والجيوبتقنية والهندسة الزلزالية اعتمادا على السرعة الوسطية للأمواج (القصبة) العرضية لأول ٣٠ م من الطبقات السطحية أو أكثر، ومنها:

- ١- بناء مقاطع السرعة الوسطية للأمواج (القصبة) العرضية.
 - ٢- رسم خرائط كنتورية لعمق صخر الأساس، الخصائص الديناميكية، وتحديد نقاط الضعف (عدم تجانس) للطبقات السطحية .
 - ٣- دراسة قدرة تحمل التربة، وتوزيع نسبة بواسون.
 - ٤- تحديد الفراغات وضبط تراص التربة والفجوات والقنوات في الطبقات السطحية.
 - ٥- دراسة الخصائص السيزمية لرسوبيات قاع البحر.
 - ٦- التقييم السيزمي لأرصفة وأراضي الطرق وتحديد نقاط الضعف.
 - ٧- رسم خرائط كنتورية للتراكيب الداخلية وتحديد الصدوع في الطبقات السطحية.
 - ٨- تصنيف الموقع والتربة لأغراض التصميم السيزمية وفق (FEMA أو NEHRP، UBC).
 - ٩- الدراسات зلزالیة مثل تمييع التربة، التمنطق الزلزالي، والاستجابة الزلزالية للموقع.
- ## ٢-٦- طرائق تحليل الاستجابة الزلزالية للموقع.

عادة يتم تحليل الاستجابة الزلزالية للموقع من خلال تقدير ووصف تأثير الأمواج الزلزالية على الموقع وقت حدوث الزلزال بوساطة حل المعادلات الديناميكية للحركة الأرضية عن طريق تشخيص مقطع التربة.

هناك طرق مختلفة لتحليل الاستجابة الزلزالية للموقع، والتي يمكن وضعها في ثلاثة مجموعات رئيسية:

- ١-طرائق المخبرية (Experimental) ٢- طرائق العددية (Numerical)، ٣- طرائق التجريبية وشبه التجريبية (Empirical and Semi-Empirical) كما في الشكل (2).



الشكل (٢٢) مخطط لأنواع الطرق المستخدمة في تحليل الاستجابة الزلزالية للموقع (الباحث).

يعتمد معظم هذه الطرق على أساس افتراض أن سبب استجابة الموقع أو التربة هو الانشار العددي التصاعدي (الرأسي) للأمواج العرضية المستقطبة أفقياً من تكوينات صخر الأساس إلى سطح الأرض وهناك طريقتان شائعتا الاستخدام من الطرق العددية في حل المعادلات الديناميكية الازمة في تحليل الاستجابة الزلزالية للموقع، وهما:

٢-١-٢ - طريقة التحليل الخطية (Linear Analysis Approach)، تتم باستخدام مجال التردد.

تعد طريقة التحليل الخطى الأكثر شيوعاً وتستخدم على نطاق واسع في الدراسات الهندسية بسبب بساطتها وفي الأساس لا تأخذ بالحسبان التغير الرأسي في خصائص الطبقة الواحدة خلال الاهتزاز.

تعتمد طريقة تحليل الاستجابة الخطية على توليد موجة مرنة خطية أحادية البعد خلال الطبقات المتعددة لوضع وتحديد نموذج الاستجابة الديناميكية لعمود التربة، حيث تتم عملية التحليل الخطية اعتماداً على خصائص التربة (معامل القص، سمك الطبقة وكثافتها)، بالإضافة إلى جانب آخر مهم هو مجال التردد لأنّه مطلوب في حل معادلة الموجة للأمواج المنتظمة (harmonious waves)، إذ يتم تحويل السلسلة الزمنية إلى مجال التردد باستخدام تحويل فورييه (Fourier Transform).

٢-٢-٢ - طريقة التحليل غير الخطية (Nonlinear Analysis Approach)، تتم باستخدام مجال الزمن تستخدم طريقة تحليل الاستجابة الزلزالية للموقع غير الخطية نظام التكامل خطوة بخطوة وبشكل أكثر دقة لتحاكي سلوك التربة غير الخطى والصحيح، حيث تتم عملية التحليل بحساب الاستجابة الديناميكية لعمود التربة احادي البعد والذي يتكون من الكتل جماعها ومنابع القص غير الخطى التي تخضع إلى حركة الصخور المدخلة. تشمل الطريقة غير الخطية على العلاقة بين إجهاد القص غير الخطى مع تشوه القص في مجال الزمن ولا تشمل خصائص التربة متماثلة للإجهادات، لذلك عند دراسة الاستجابة السيسزمية للموقع من الضروري معرفة خصائص التربة وسرعة الأمواج العرضية عند الأعماق المختلفة لعمود التربة بتنامي طرائق التحليل الخطية وغير الخطية إلى طريقة أحادية البعد كما في الشكل (٢٢).

إذ تعمد طريقة التحليل أحادية البعد (One Dimensional Response Methods) المستخدمة في برمجية Shake2000 على فرضيتين أساسيتين هما:

١- امتداد حدود الطبقات السطحية وسطح صخر الأساس افقيا إلى ما لا نهاية.

٢- انتشار الأمواج رأسيا من صخر الأساس إلى سطح الأرض مرورا بالطبقات السطحية المرنة.

تم استخدام طريقة التحليل الخطية لتحليل الاستجابة الزلزالية للموقع في هذه الدراسة واعتمادا على المعطيات الجيوتكنية والسيزمية المتوفرة باستخدام برمجية (Shake2000).

ومن أهم المدخلات المستخدمة في هذا البرمجية:

١- تسجيل حقيقي لزلزال على صخر الأساس، مثل زلزال عام ١٩٩٤ بقوة (٦.٥) على مقياس رختر متعلق بفالق البحر الميت التحويلي والذي يعد مرجع للحركة، يتم إدخاله لعرض التباين في تضخيم الموقع للموجة السيزمية عند المواقع المختلفة في منطقة الدراسة، او زلزال من برمجية شيك ٢٠٠٠.

٢- وحدة الكتلة (Unit Weight) لكل طبقة بوحدة قياس كيلو نيوتن\متر مكعب (KN/M^3).

٣- تحديد نوع الطبقة اعتمادا على معامل اللدونة (PI)، ومعرفة سماكتها (m).

٤-سرعة الأمواج (القصبة) العرضية (Vs) لكل طبقة والدالة على صلابة التربة لأن التربة تعمل على تضخيم الأمواج السيزمية عند عبورها من الطبقات باتجاه السطح، لذا فإن وصف التربة وتقدير خصائصها من أهم الخطوات التي يجب معرفة كيفية التعامل معها.

تم قياس السرعة الوسطية للأمواج (القصبة) العرضية في جميع البروفيلات الموزعة في منطقة الدراسة باستخدام طريقة تحليل متعدد القنوات النشطة وغير النشطة لتوظيفها في تحليل الاستجابة الزلزالية للموقع باستخدام برمجية شيك ٢٠٠٠ (Shake2000) وتقسيم منطقة الدراسة (المنطقة الزلزالي) اعتمادا على درجة استجابتها الزلزالية والسرعة الوسطية للأمواج (القصبة) العرضية، وأطياف التسارع، ونسبة التضخيم والتعدد الطبيعي للموقع باستخدام نظام المعلومات الجغرافي (GIS)، ورسم الخرائط الكنتورية باستخدام برمجية السيرفر (Surfer) أو برمجية (GIS).

من أجل تنفيذ مرحلة الأعمال الحقلية وجمع المعطيات السيزمية اللازمة في تحليل الاستجابة الزلزالية للموقع، يتم تقسيم منطقة الدراسة إلى شبكة مربعات متساوية الأبعاد ، وتنفيذ بروفيل واحد في كل مربع باستخدام طريقي تحليل متعدد القنوات النشطة وغير النشطة باستخدام الأجهزة السيزمية المتوفرة (متوفّر لدينا جهاز سيزمي ٤٨ قنال ولواقط طولية بتردد (٤.٥ Hz) اختيار المسافة بين الواقط من ١-٢ م بشكل عام . وبعد منبع الطاقة السيزمية ٧-١٠ م عن اللاقط الأول. وفي حال عدم توفر الأراضي والمساحة الملائمة بسبب ازدحامها بالمبني والمنشآت السكنية يمكن تنفيذ بروفيلات بنفس الإعدادات السابقة واختيار المسافة بين الواقط ١.٥ - ١.١ م .

وبعد الانتهاء من مرحلة جمع المعطيات يتم معالجتها باستخدام برمجية سايزامجر والحصول على السرعة الوسطية للأمواج (القصبة) العرضية للطبقات وسماكتها، ويمكن الاستفادة من هذه المعطيات وادخلتها في برمجية Shake2000 والحصول على النتائج المختلفة.

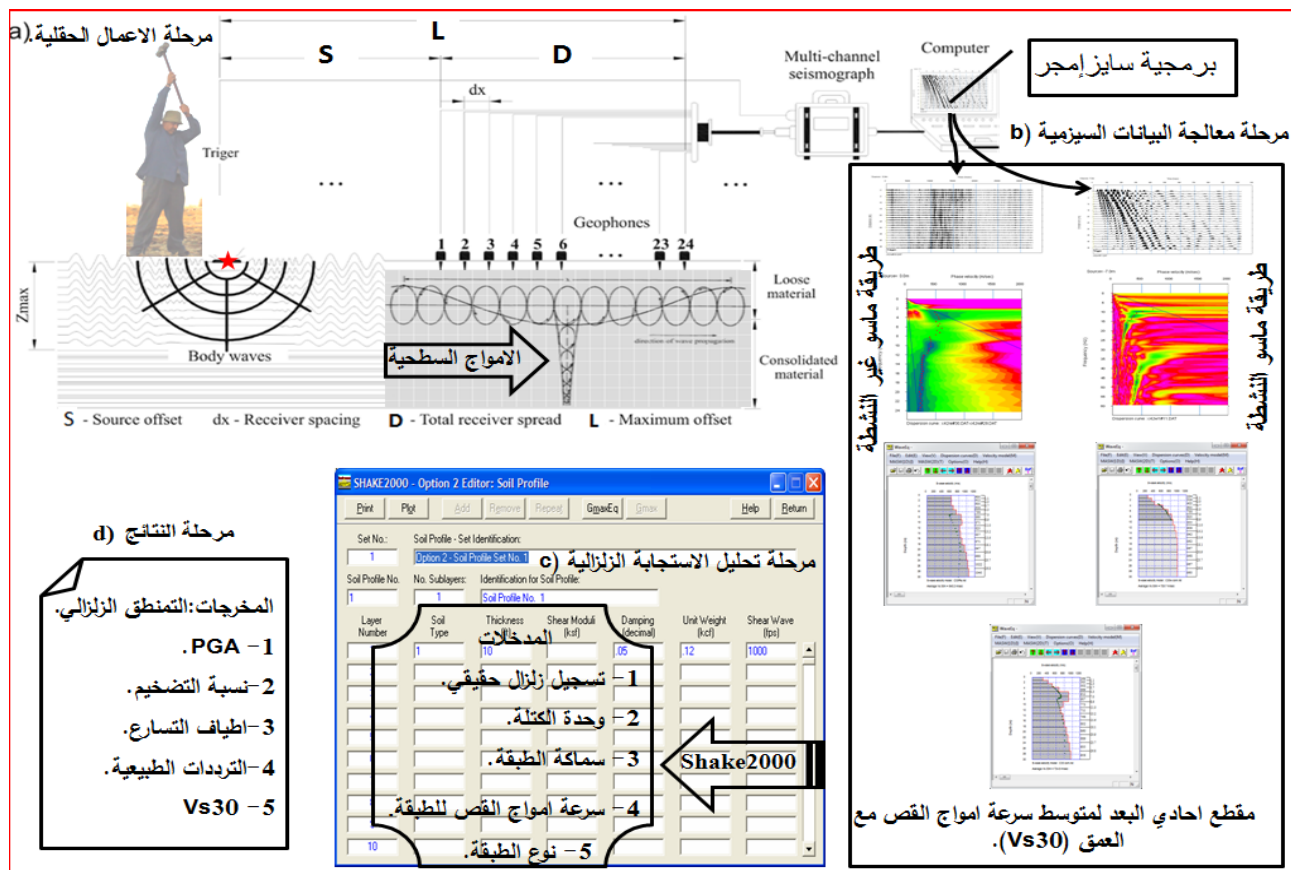
وتكون دراسة تحليل الاستجابة الزلزالية للموقع في منطقة الدراسة من أربع مراحل رئيسة يعرضها المخطط التوضيحي في الشكل (٢٣) وهي:

١- مرحلة الأعمال الحقلية السismية.

٢- مرحلة معالجة المعطيات السزمية باستخدام برمجية سايز إمجر.

٣- مرحلة تحليل الاستجابة الزلزالية للموقع باستخدام برمجية شيك ٢٠٠٠.

٤- تحليل النتائج وعرضها على شكل خرائط كنторية تمثل تصنيف الموقع والترابة في منطقة الدراسة.



الشكل (٢٣) مخطط توضيحي للمراحل المستخدمة في الدراسة.

٧-٢- البرمجيات والبرامج المستخدمة في الدراسة.

١- برمجية سايز إمجر (SeisImager).

- إدخال وعرض المعطيات السزمية والتحكم في طريقة عرضها.

- تعديل وتعديل على ملفات المعطيات وحفظها.

- حساب منحنيات التشتت وعرضها.

- تمثيل سرعة الأمواج (القصبة) العرضية بمقاطع أحادية البعد وثنائية البعد.

٢- برمجية شيك ٢٠٠٠ (Shake2000). ٣- برمجية سيرفر (Surfer). ٤- نظام المعلومات الجغرافية (GIS/ArcView). ٥- برنامج إكسيل (Excel).

الفصل الثالث: الأعمال الحقلية السيزمية.

١-٣ - مقدمة.

تم استخدام العديد من التقنيات والإعدادات السيزمية المتوفرة والمستخدمة في الأعمال الحقلية والتحري السيزمي والتي تعتمد على قياس زمن وصول الأمواج السيزمية المنتشرة بعد انتشارها من المنبع السيزمي الصنعي، حيث تُستخدم هذه التقنيات والإعدادات السيزمية منذ فترة زمنية طويلة لدراسة الخصائص الجيوتكنولوجية للطبقات السطحية ، وذلك لأن خصائص المرنة لمكونات الطبقات السطحية وعلاقتها مع انتشار الأمواج السطحية من المتغيرات الأكثر أهمية في الدراسات الجيوتكنولوجية والهندسية إذ أن انتشار الأمواج السيزمية يعتمد على مرنة التربة والطبقات السطحية.

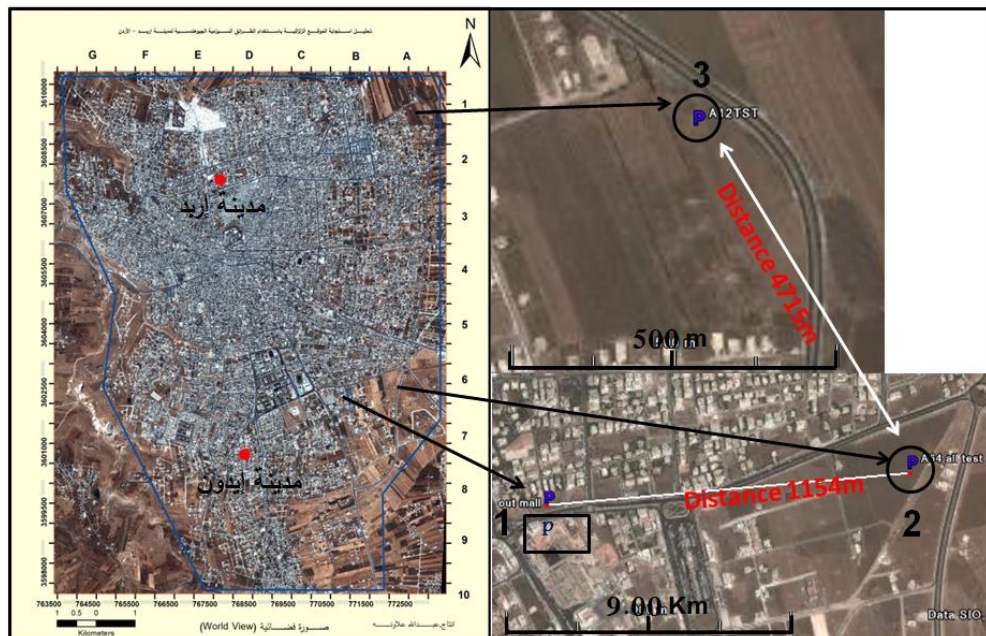
تعد طريقة تحليل متعدد القنوات للأمواج السطحية (ماسو) في الوقت الحاضر من أهم الطرق المستخدمة في الدراسات الجيوهندسية بدلًا من الطريقة الانكسارية التقليدية لقياس السرعة الوسطية للأمواج (القصبة) العرضية (Average Shear Waves Velocity) للطبقات السطحية حتى عمق ٣٠ م بمختلف الإعدادات والتجهيزات باختلاف الحالة الدراسية والهدف المطلوب منها، واستخدامها في إيجاد الحلول المناسبة للمشاكل المتعلقة بالدراسات الجيوهندسية في المناطق الحضرية، وذلك لأن الطريقة الانكسارية التقليدية حتى تصل إلى أعمق كبيرة تحتاج إلى تقنية معينة من حيث المنبع (مثل سقوط كتلة) وطول البروفيل (زيادة المسافة بين الواقع)، بالإضافة إلى حساسيتها العالية للضجيج وحركة المرور، إذ يصعب تنفيذها في المناطق الحضرية بسبب الضجيج والمناطق المتوفرة صغيرة المساحة، وبالتالي الحصول على عدد قليل من الطبقات بعد معالجة وتحليل البيانات السيزمية وعدم اكتشاف الطبقات الرقيقة (المخفية)، أما طريقة ماسو فتشمل وتحدد وتفرز الطبقات قليلة السماكة ومنخفضة السرعة وتصل إلى أعمق كبيرة وذلك في المناطق الحضرية.

٢-٣ - الأعمال الحقلية السيزمية التجريبية.

يجب أن يتم إجراء الأعمال الحقلية السيزمية التجريبية قبل البدء بالأعمال الحقلية الرئيسية لجمع المعطيات السيزمية اللازمة في دراسة الاستجابة الزلزالية للموقع والتي تهدف إلى تحديد الإعدادات والتجهيزات والمتغيرات الأمثل والخاصة بمنطقة الدراسة، وذلك لقياس سرعة الأمواج (القصبة) العرضية للطبقات السطحية آخذين بعين الاعتبار طبيعة وتضاريس الأرضي المتوفرة، مساحتها، وعمق التحري المطلوب (٣٠ م) بالإضافة إلى الإجابة على التساؤلات الآتية:

- ما عمق صخر الأساس وعدد الطبقات السطحية للعمود الطبقي في منطقة الدراسة؟
- ما عمق التحري الأقصى للمسح السيزمي وقياسات المتغيرات والعوامل المؤثرة به وأهمها طول البروفيل (متضمنا المسافة بين الواقع) وبعد المنبع السيزمي الصنعي عن البروفيل؟
- هل تتغير سرعة الأمواج العرضية بتغيير الاتجاه الجغرافي للبروفيل؟
- هل يمكن إيجاد علاقة تربط طريقة تحليل متعدد القنوات النشطة مع طرائق تحليل متعدد القنوات غير النشطة عند استخدامها في دراسة الطبقات السطحية في المنطقة الواحدة لتعطي نتائج صحيحة؟
- هل يمكن تعديل وتطوير شكل الصفيحة (البلاطة) المعدنية والحصول على نتائج أفضل؟

ندرج مثال تطبيقي لأعمال سيزمية جيوهندسية لمدينة اربد-الأردن (من أطروحة دكتوراه عمل عبدالله علاونة):
 تم تحديد واختيار ثلات مواقع ضمن منطقة الدراسة موضحة في الشكل (٢٥) واستمر جمع البيانات السيزمية باستخدام الأدوات اللازمة في الأعمال الحقلية والتحري السيزمي والمبينة في الشكل (٢٦) كما يبين الجدول (٤) التجهيزات والمتغيرات التي تم اختبارها في أثناء الاعمال الحقلية التجريبية، اما جهاز السيموغراف المستخدم هو من نوع (PASI)، ايطالي الصنع و ٢٤ لاقطاً طولياً بتردد 4.5 هرتز ومطربقة تزن ٧.٢ كغم وصفحة المنيوم ابعادها (١٥ سم × ١٥ سم)، حيث تم تعديل وتطوير شكل الصفيحة خلال الأعمال التجريبية.



الشكل (٢٥) المناطق الثلاث التي تم فيها تنفيذ الاعمال الحقلية التجريبية.



الشكل (٢٦) الادوات المستخدمة في الاعمال الحقلية وجمع البيانات السيزمية.

الجدول (٤): ملخص التجهيزات والمتغيرات ونوع المسح السيزمي.

Survey type	Active MASW
Source	7.2 Kg Hummer
Seismograph	PASI -16S24/ Italy Made
Geophones	24 / vertical /4.5 Hz
Receiver array	Linear
Profile Length (D)	(23, 34.5, 46, 69)m
Receiver spacing (dx)	(1, 1.5, 2, 3) m
Source offset	- (0, 5, 7, 10, 11.5, 18.5, 20, 23) m
Sampling Interval	0.5 ms
Recording time	1024 ms
Aluminum Plate	(15 x 15)cm, 3 Shapes

١-٢-٣ - عمق صخر الأساس والتعاقب الطبقي.

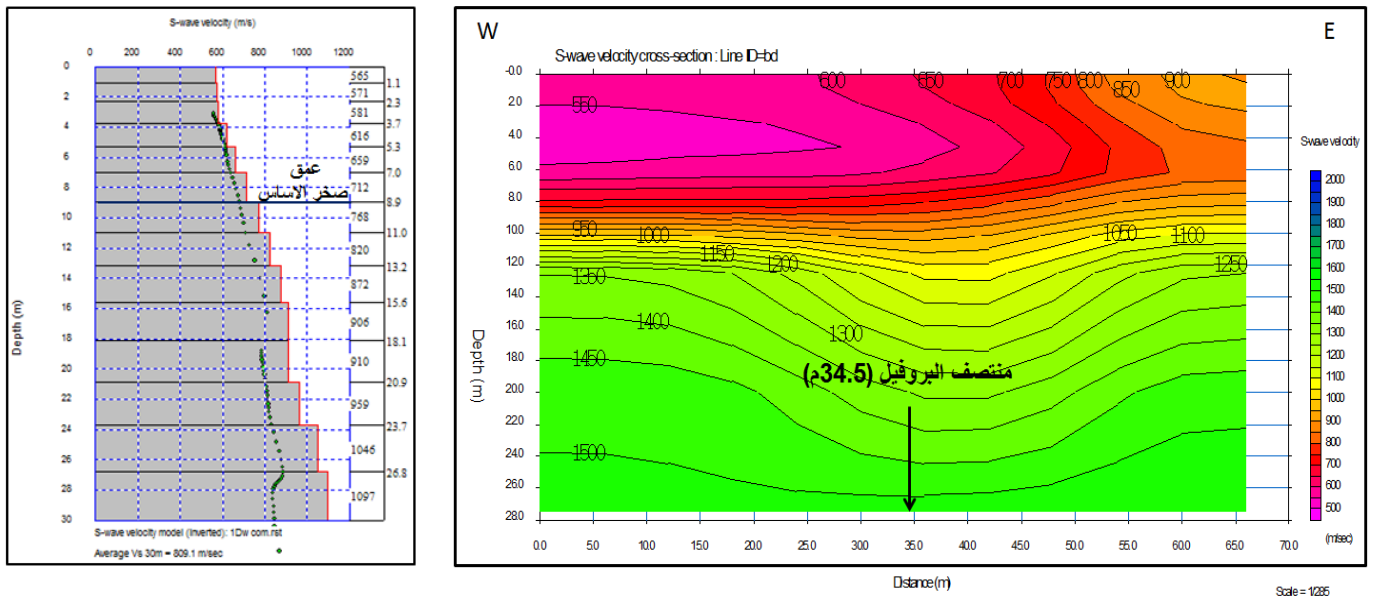
تعمل التربة على تضخيم الأمواج السيزمية عند انقالها من صخر الأساس ومرورها منها، لذا فلا بد من معرفة عمق صخر الأساس؛ لأنه يدل على سماكة التربة في تلك المنطقة، وصخر الأساس هو الطبقة التي تكون فيها السرعة (القصبة) العرضية (≤ 760 م/ث) وفق تصنيف (NEHRP)، إذ تعد سماكة عمود التربة من المتغيرات الرئيسية المستخدمة في قياس السرعة الوسطية للامواج (القصبة) العرضية للتربة أثناء معالجة البيانات السيزمية، بالإضافة إلى أن تضخيم الأمواج السيزمية يزداد بزيادة سماكة عمود التربة، وتم اختيار الموقع في المنطقة (١) في الشكل (٢٥) الواقع جنوب أحد الشارع والمحفور لبناء مول جديد عليه في إربد حتى عمق ١٣.٦ م عن مستوى الشارع وأبعادها (١٠٠x١٢٠ م) الشكل (٢٧)، وتم تنفيذ بروفيلين سيزميين في المنطقة (١) باتجاه (شرق-غرب) الأول يمثل مقطعاً أحادي البعد الشكل (٢٨) والآخر مقطع ثانوي البعد الشكل (٢٩)، وطول كل بروفيل ٦٩ م والمسافة بين الواقط تساوي (٣م).



مول جدید - المنطقة (2)



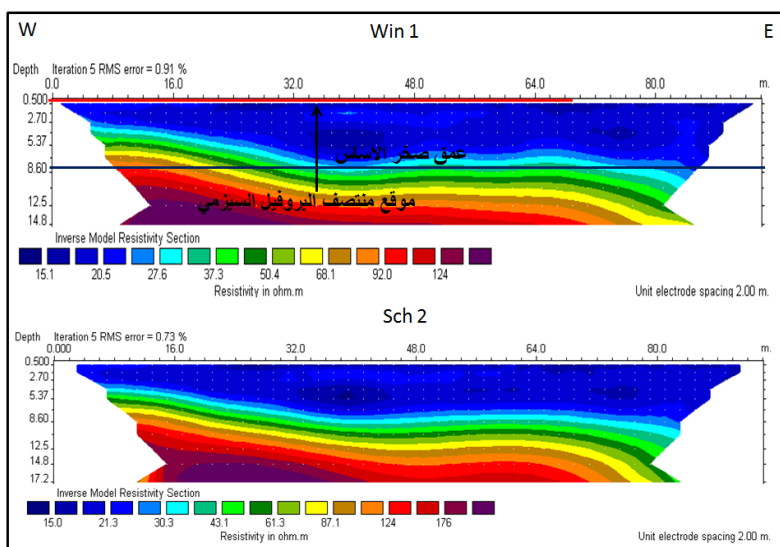
الشكل (٢٧) صور تبين الحفرية والتعاب الطبقي والأعمال الحقلية السيزمية في المنطقة (١).



الشكل (٢٩) مقطع ثانٍ بعد للطبقات السطحية أسفل قاعدة الحفرية. الشكل (٢٨) مقطع نهائي أحادي بعد يمثل الطبقات السطحية أسفل قاعدة الحفرية.

ومن المقطعين أحادي وثنائي البعد في الشكلين (٢٨) و(٢٩) نجد أن عمق صخر الأساس في مقطع أحادي البعد ٨.٩ م، في حين كان عمق صخر الأساس في مقطع ثانٍ بعد يساوي ٦ م عند أطراف البروفيل و٩ م في منتصفه، والسرعة الوسطية للأمواج (القصبة) العرضية عنده تساوي (٧٦٨،٧٦٧) ماثا على الترتيب.

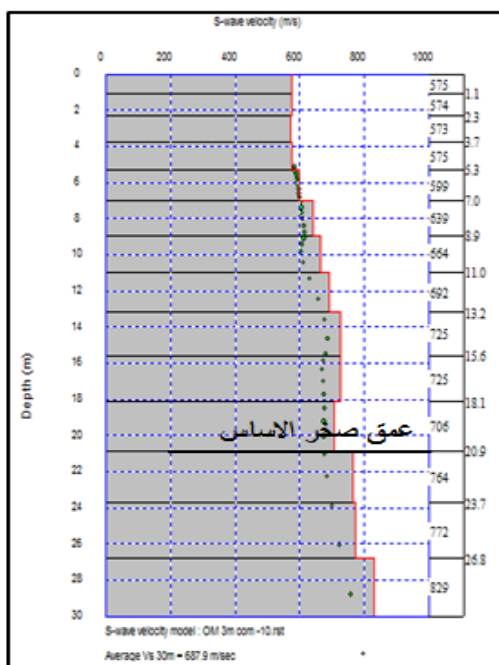
تم استخدام طريقة المقاومة الكهربائية ثنائية البعد (Resistivity) للتأكد من دقة طريقة تحليل متعدد الفتوات للأمواج السطحية في تحديد عمق صخر الأساس، حيث تمأخذ بروفيلين في الحفرية باستخدام الطريقتين الكهربائيتين (Schlumberger, Winner) بنفس موقع البروفيل السيزمي، واستخدام برمجية (Res2dinv) في معالجة وتحليل البيانات الكهربائية، والشكل (٣٠) الذي يبين أن عمق صخر الأساس يتراوح من ٢.٧٠ م عند بداية البروفيل (غرباً) إلى عمق يساوي ٨ م عند منتصفه وعمق ١٠ م تقريباً عند نهايته (شرقاً)، أي أن عمق صخر الأساس في مقطع طريقة المقاومة الكهربائية عند النقطة التي تمثل منتصف البروفيل السيزمي في الشكل (٣٠) يساوي ٨.٤ م.



الشكل (٣٠) مقطع ثانٍ بعد باستخدام طريقة المقاومة الكهربائية.

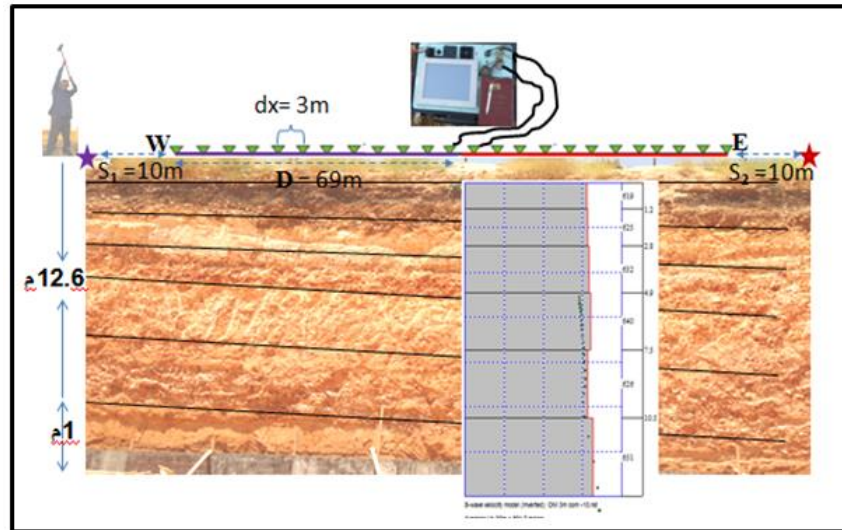
وجميع النتائج التي تم الحصول عليها من استخدام الطرائق السيسزمية في الموقع (الحفرية) متقاربة في تحديد عمق صخر الأساس في هذه المنطقة، وأعطت هذه الدراسة فكرة أولية عن عمق صخر الأساس في مدينة إربد ولا سيما في مناطق التربة ذات السماكة الكبيرة،

أي أن سطح صخر الأساس متغير ومتعرج ومتوسط عمقه في هذه المنطقة عند منتصف البروفيل يساوي (٢٢.٦-٢٢) م من سطح الأرض (١٣.٦ م عمق الحفرة + ٨.٤ - ٩) م عمق صخر الأساس من البروفيل في الحفرية). وهذا ما أكدته نتائج البروفيل السيسزمي الذي تم تسجيله إلى الشمال من الموقع (١) ويبعد عنه ٧٠ م وموازيا له، وطول هذا البروفيل يساوي ٦٩ م، والمسافة بين اللوacket تساوي ٣ م، ويبعد المنبع السيسزمي ١٠ م عن بداية البروفيل، حيث يبين المقطع السيسزمي أحادي البعد في الشكل (٣١) إن عمق صخر الأساس عند منتصف البروفيل يساوي ٢٠.٩ م.

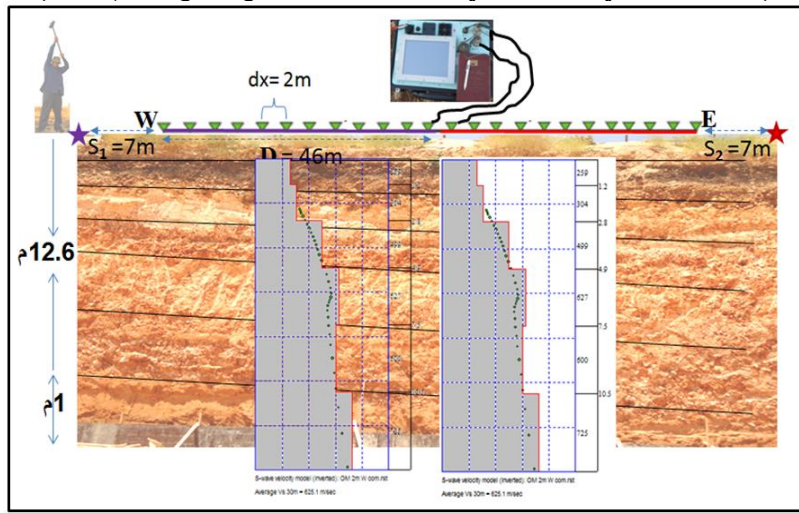


الشكل (٣١) المقطع السيسزمي أحادي البعد يبين عمق صخر الأساس شمال المول.

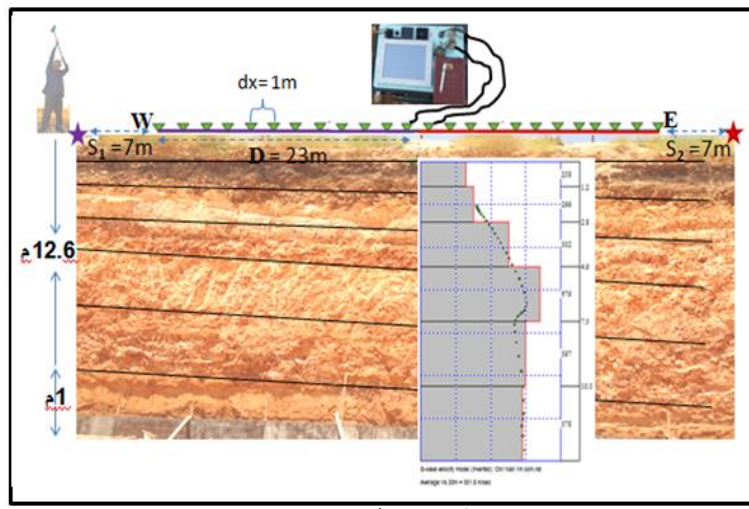
تعرض الأشكال (٣٢، ٣٣، ٣٤) التعاقب الطبقي المتكتشف على الحافة الشمالية لحفرية المنطقة (١) والمتمثل بطبقة رقيقة من التربة وطبقة من الحجر الرهبي (وتسمى الحزيرية أو الكونغلومير) بسماكة تساوي ١٢ م غير متجانسة النسيج انظر الشكل (٣٥) والتي تعلو طبقة متجانسة النسيج وناعمة الحبيبات، وتم مقارنته مع مقاطع سيسزمية أحادية البعد المسجلة شمال الشارع بطول ٦٩ م و٤٦ م و٢٣ م والمسافة بين اللوacket (١، ٢، ٣) م على الترتيب، وذلك للتعرف على الطبقات السطحية وتحديد العدد الذي يمكن استخدامه في عملية معالجة البيانات ودراسة الاستجابةزلزالية للموقع للحصول على نتائج أكثر دقة وعدم تعفيتها على المناطق الأخرى في منطقة الدراسة، وقد وضحت المقاطع السيسزمية التقسيمات الفرعية للطبقة الواحدة ولا سيما طبقة الحجر الرهبي غير المتجانسة وكان عددها أربع طبقات رقيقة فليلة السماكة، حيث أبدت جميع المقاطع تقريبا في النتائج مع اختلاف عمق التحري السيسزمي، والشكل (٣٦) يوضح تطابق مقطع السرعة مع الطبقات في الحفرية ٢.



الشكل (٣٢) التعاقب الظبي المتكشف في حفرية ١ ومقارنته مع مقطع احادي البعد ($dx=3m$).

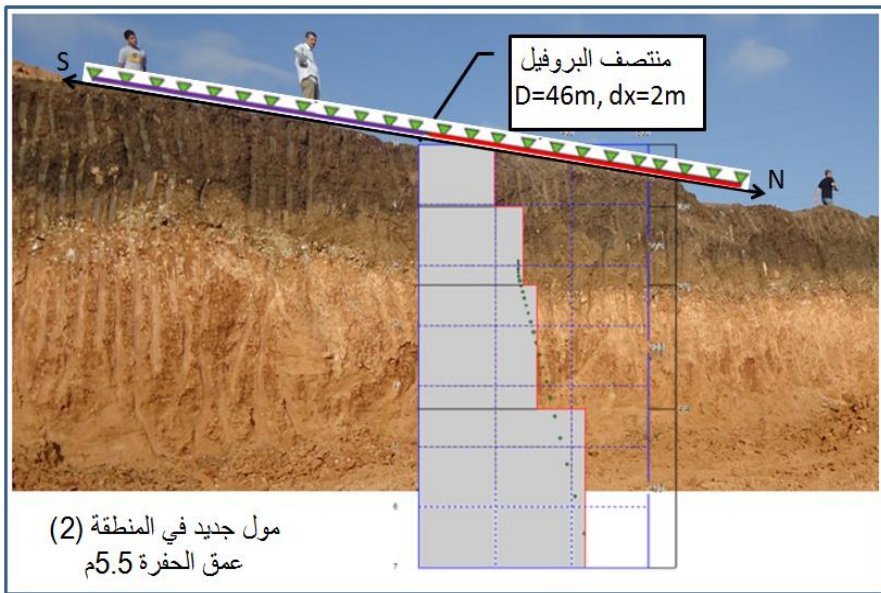
الشكل (٣٣) التعاب الطبقي المتكتشف في حفرية ١ ومقارنته مع مقطع احادي البعد ($dx=2m$).



الشكل (٤) التعاقب الطبقي المتكتشف في حفرية ١ ومقارنته مع مقطع احادي البعد ($dx=1m$).



الشكل (٣٥) صور تبين عدم تجانس طبقة الحجر الرهيسي في التعاقب الطبقي للحفرية ١.



الشكل (٣٦) صورة لحفرية مول في المنطقة (٢) تبين التعاقب الطبقي والبروفيل A64NM

أي أن عدم التجانس في النسيج والحجم الحبي لمكونات الطبقات السطحية يؤدي إلى تشتت الأمواج السطحية عند انتقالها في الطبقة الواحدة وبالتالي يعكس التقسيمات الفرعية للطبقة على شكل طبقات سطحية ذات سرعة أمواج عرضية مختلفة، كما هو الحال في طبقة الحجر الرهيسي إذ تزداد سرعة الأمواج العرضية مع زيادة الحجم الحبي للفتات وتقل بنقصان الحجم الحبي أي أن العلاقة طردية بين سرعة الأمواج العرضية والحجم الحبي للمكونات المكونة للطبقة ودرجة صلابتها وتراسها.

يعتمد نسيج الطبقة الواحدة على الحجم الحبي ودرجة الفرز للفتات المكون لها، مما يعني ذلك أن زيادة الحجم الحبي للفتات يكون طبقة ذات نسيج خشنا أي سرعة أمواج قص عالية، وإذا كان الحجم الحبي صغير يكون النسيج ناعماً أي سرعة أمواج قص منخفضة، بالإضافة إلى التغير في الحجم الحبي الذي يدل على درجة الفرز وتجانس الفتاتات في الطبقة الواحدة.

٢-٢-٣ - عمق التحري السيزمي الأقصى (H).

تهدف الأعمال الحقلية إلى تغطية جميع موقع منطقة الدراسة باختلاف طبيعتها وتضاريسها ولا سيما المناطق ذات التربة العميقه والسمكرة الكبيرة (الحي الشرقي، الشمالي الشرقي، الجنوبي الشرقي)، كما تهدف إلى تحديد طول البروفيل المناسب، وبعد المنبع السيزمي ليتحقق عمق التحري السيزمي المطلوب واللازم، والمعتمد عليه عالميا في جميع الدراسات الجيوهندسية والزلزالية ألا وهو (٣٠ م).

إن أهم المتغيرات في الأعمال الحقلية التي يعتمد عليها عمق التحري السيزمي هي:

١- منبع أو مصدر الطاقة السيزمية.

٢- طول البروفيل (D).

٣- بعد المنبع السيزمي الصنعي (S).

٢-٢-٣ - ١- منبع أو مصدر الطاقة السيزمية.

يستخدم في طريقة تحليل متعدد القنوات للأمواج السطحية منابع مختلفة لتوليد الطاقة السيزمية مثل مطرقة مختلفة الوزن وقد يصل عمق التحري السيزمي الأقصى بأفضل الظروف إلى ١٥ م، أو سقوط كتلة رأسياً، فيصل عمق التحري إلى ٣٠ م، وعند استخدام بلدوزر يصل عمق التحري إلى أكثر من ١٠٠ م وكان مصدر الطاقة السيزمية مطرقة تزن ٧.٢ كغم (لم يتغير في هذه الدراسة).

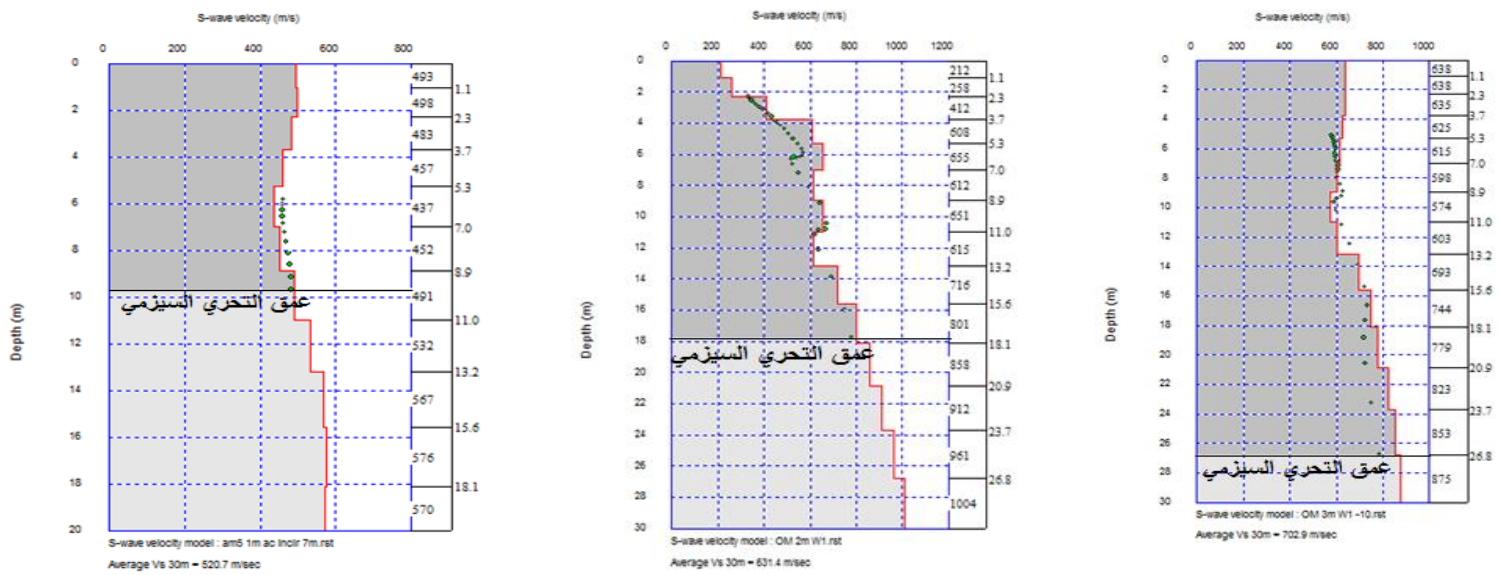
٢-٢-٣ - ٢- طول البروفيل (D).

يعد طول البروفيل من أهم المتغيرات الرئيسية في الإعدادات الازمة لجمع البيانات السيزمية والمؤثرة في عمق التحري السيزمي الأقصى وأن لا يقل طوله عن عمق التحري، حيث كلما زاد طول البروفيل يزداد عمق التحري السيزمي مما يعني أن العلاقة طردية بين طول البروفيل وعمق التحري الأقصى.

يجب ان تكون المسافات بين الواقط الرأسية متساوية في أثناء جمع البيانات السيزمية والأعمال الحقلية لأنها مهمة جدا في نوعية البيانات السيزمية ودقتها، حيث تعد المسافة بين الواقط العامل المؤثر مباشرة في طول البروفيل والتي تمثل أقل سماكة للطبقات السطحية في المقطع الذي يربط السرعة الوسطية للأمواج (القصبة) العرضية مع العمق، ويعرض الشكل (٣٧) اطوال المختلطة (٢٣، ٤٦، ٦٩ م) للبروفيلات بتغيير المسافة بين الواقط الطولية وأبعاد منابع الطاقة السيزمية في المنطقة (١) وباتجاه شرق-غرب.



الشكل (٣٧) اطوال البروفيلات والمسافات بين الواقط المختلفة في المنطقة (١)



الشكل (٣٨) تغير عمق التحري السيسمي وفق طول البروفيل في المنطقة (١).
 نتائج تحليل ومعالجة البيانات السيسمية للبروفيلات مختلفة الأطوال في المنطقة (١)
(أ) $D=23\text{m}$, $dx=1\text{m}$. (ب) $D=46\text{m}$, $dx=2\text{m}$ (ج) $D=69\text{m}$, $dx=3\text{m}$

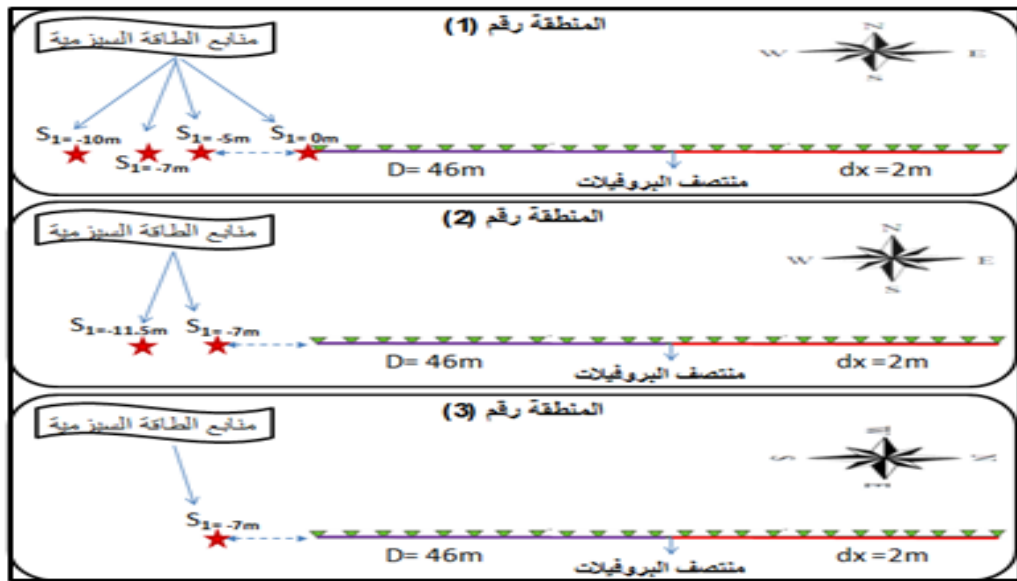
إن عمق التحري يختلف من منطقة إلى أخرى وإن تماثل طول البروفيل وذلك اعتماداً على طبيعة الطبقات السطحية، ودرجة صلابتها، ونسيج مكوناتها، والحجم الحبي المكون لها، مع افتراض ثبات جميع المتغيرات الأخرى (طاقة المنبع السيسمي)،

٣-٢-٣- بعد منبع الطاقة السيسمية (S).

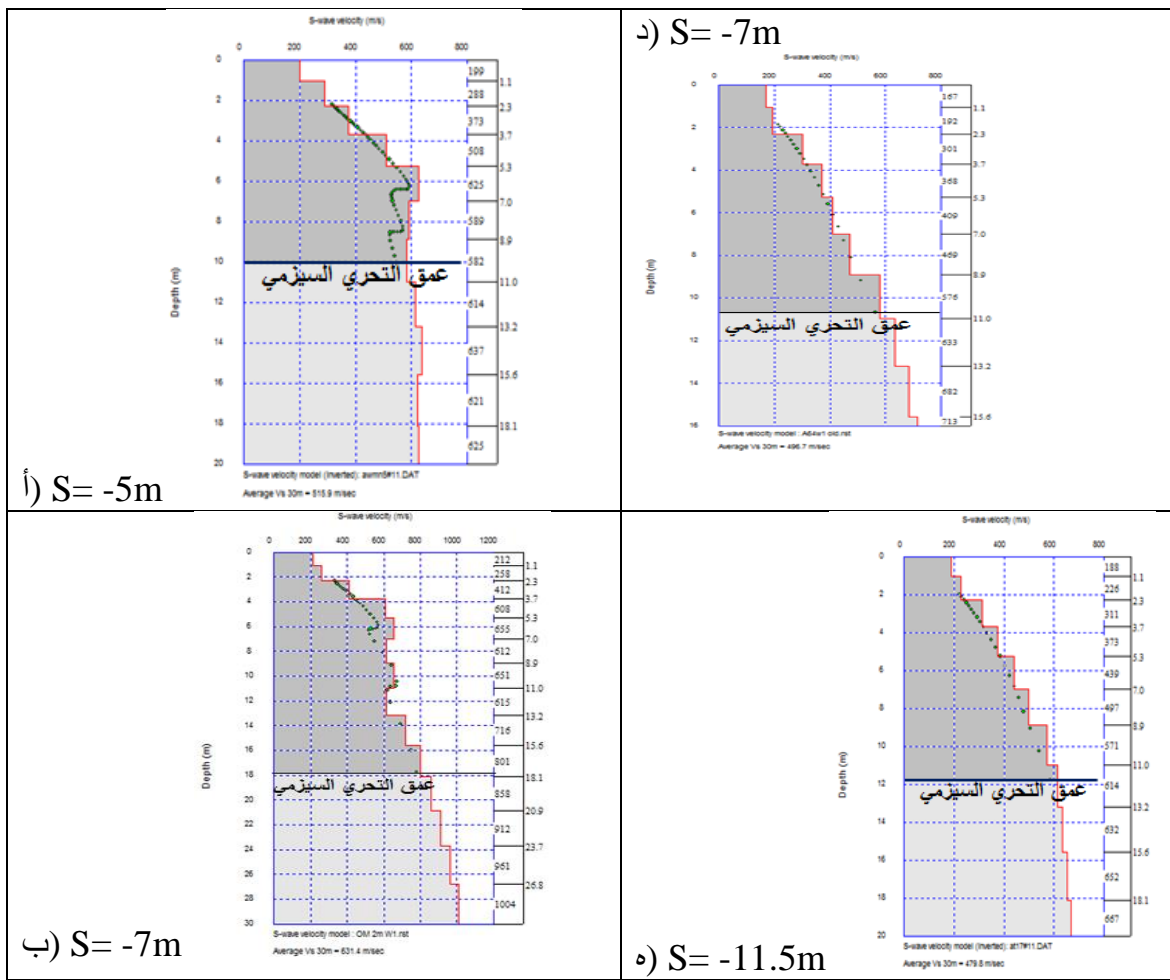
يعد المنبع الصناعي للطاقة السيسمية من أهم العوامل والمتغيرات والتجهيزات الضرورية في الأعمال الحقلية لجمع البيانات السيسمية عند استخدام طريقة تحليل متعدد القنوات ماسو.

إن الخصائص السطحية (التشتت) للأمواج السطحية لا تنشأ ولا تتكون إلا بعد مسافة معينة من المصدر السيسمي، وفي معظم الحالات الدراسية يجب أن تكون المسافة المطلوبة أكبر من نصف قيمة الطول الموجي الأقصى، وبمعنى آخر إن الأمواج الجسمية ووضع أمواج رايلي عالية التردد ربما يسيطران على الوضع الأساسي لأمواج رايلي عند الترددات العالية، لذا فإن القاعدة تنص على أن لا تزيد المسافة بين بعد المنبع السيسمي والبروفيل عن 100 m .

وتم تحديد بعد المنبع الأمثل بالاعتماد على البروفيلات التي طولها فقط 6 m في المناطق الثلاثة، إذ يعرض الشكل (٤٣) بعد المنبع السيسمية عن البروفيل في المناطق (١، ٢، ٣).



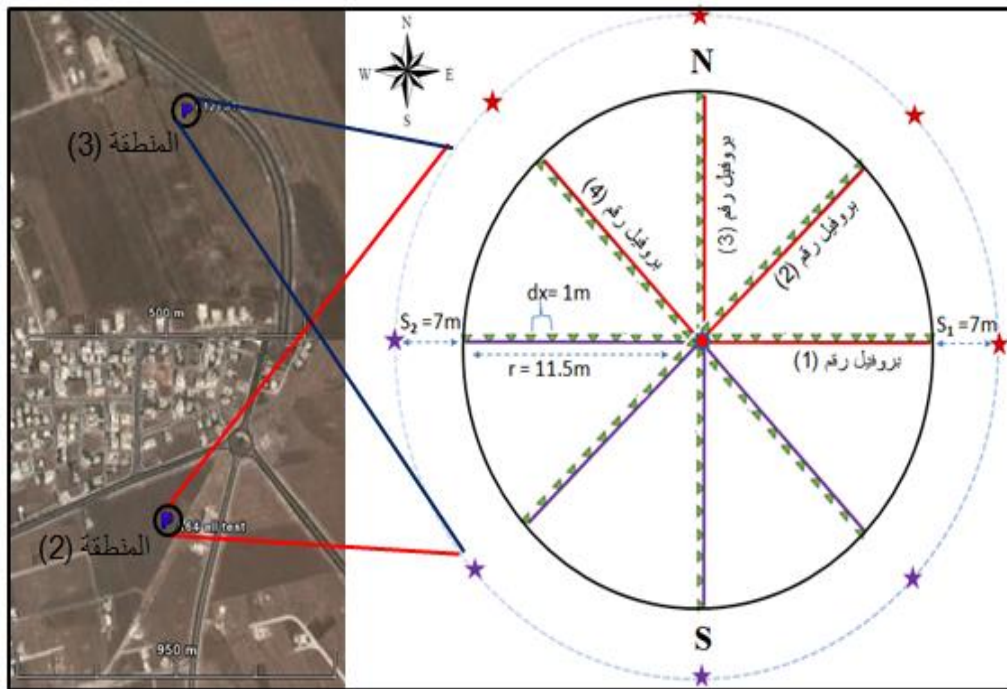
الشكل (٤) بعد المنبع السيزمي الصنعي عن البروفيلات في المناطق الثلاثة.



الشكل (٤) عمق التحري السيزمي وفق بعد المنبع السيزمي الصنعي عن البروفيل (٤م) في المناطق الثلاثة: (أ،ب،ج) في المنطقة (١)، (د،ه) في المنطقة (٢)، و(و) في المنطقة (٣).

٣-٢-٣- أثر الاتجاه الجغرافي للبروفيل على السرعة الوسطية للأمواج (القصبة) العرضية.

تختلف التربة في خصائصها الديناميكية من منطقة إلى أخرى اختلافا قد يكون ملمسا، وقد يكون غير ملمسا، وذلك اعتمادا على درجة تجانسها في المكونات والنسيج؛ مما يؤدي إلى اختلاف التربة في السرعة الوسطية للأمواج العرضية وطبيعة انتشار الأمواج السطحية فيها وخصائصها السizerمية والزلزالية. تتكون تربة إربد من ثلاثة طبقات رئيسة تتوضع على الصخر الجوى وصخر الأساس، حيث إن معامل اللدونة (PI) في تربة إربد ثابت إلى عمق يساوى ١٢م، فهل هذا الثبات يعطي تمثلاً في نتائج البروفيلات المأخوذة مع اختلاف الاتجاهات الجغرافية؟ هذا ما تم توضيحه ومعرفته من خلال الأعمال الحقلية وفق الإعدادات في الشكل (٤٥) وعرض النتائج في الشكلين (٤٦، ٤٧) والتي بينت أن السرعة العرضية ثابتة نسبياً مع العمق في جميع البروفيلات في المنطقة الواحدة مع وجود اختلاف بسيط وذلك بسبب اختلاف في تضاريس منطقة الدراسة.



الشكل (٤٥) صورة توضيحية للاتجاه الجغرافي وموقع البروفيلات الأربع في المنطقتين.

٤-٢-٣- أنواع طريقة تحليل متعدد القنوات غير النشطة وأهميتها في الدراسة.

استُخدمت طريقة تحليل متعدد القنوات (ماسو) النشطة في كل الأعمال الحقلية التجريبية السابقة لجمع البيانات السizerمية بمختلف الإعدادات والمتغيرات إلا أن عمق التحري السizerمي المطلوب (٣٠م) لم يتحقق في جميع المحاولات، لذا لا بد من استخدام طريقة تحليل متعدد القنوات غير النشطة؛ لأنها تحقق أعمق أكبر، ثم الجمع بين نتائج الطريقتين وتكاملهما للحصول على عمق التحري السizerمي المطلوب، تهدف الأعمال الحقلية التجريبية باستخدام طريقة تحليل متعدد القنوات غير النشطة إلى:

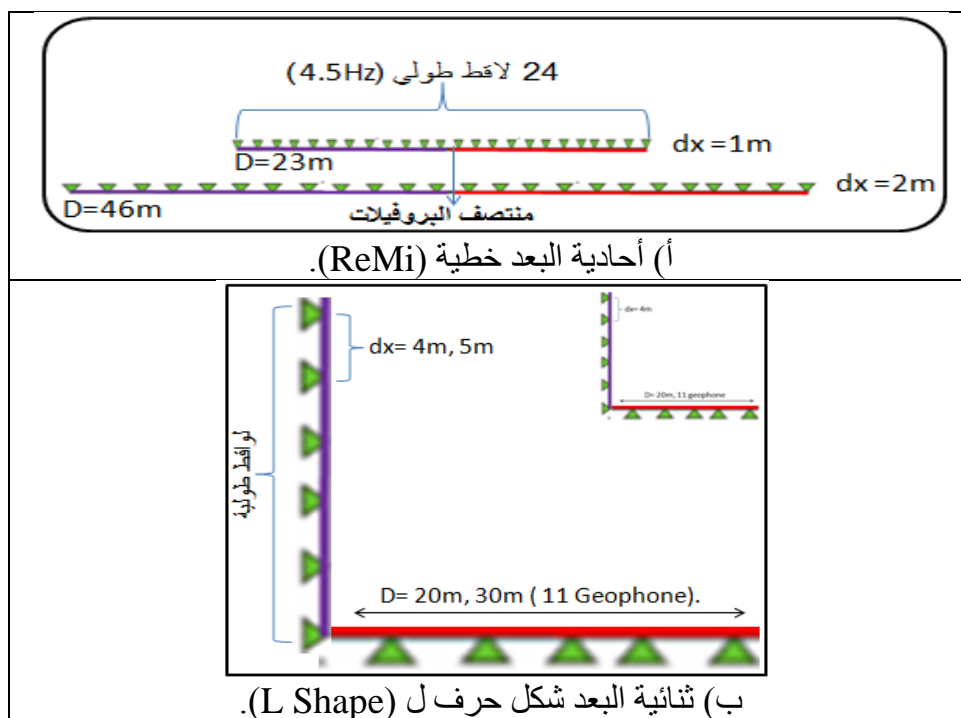
- الحصول على عمق التحري السizerمي المطلوب من خلال أقل إعدادات والتجهيزات اللازمة لها.

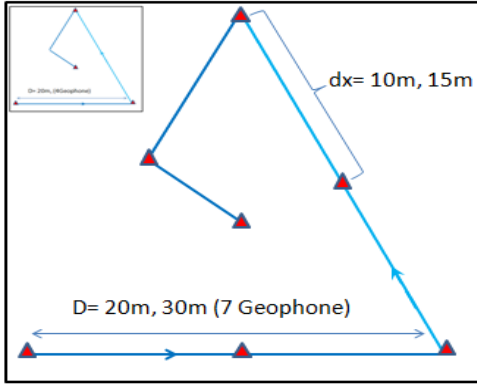
- ٢- معرفة أي طرائقها الأمثل في هذه الدراسة من حيث سهولة تنفيذها ودقة نتائجها.
- ٣- معرفة أهم الإعدادات والمتغيرات الأمثل لتعطى نتائجً افضل مثل فترة التسجيل، طول البروفيل.
- ٤- معرفة العلاقة الهندسية التي تربط إعدادات طرائقها، وعلاقتها مع إعدادات ماسو النشطة.
- يوضح الجدول (٨)، أهم المتغيرات والإعدادات والتجهيزات الحقلية المختلفة التي تم استخدامها في طريقة تحليل متعدد القنوات غير النشطة في المناطق الثلاثة لمعرفة عمق التحري الذي تم الحصول عليه فيما إذا كان يساوي عمق التحري المطلوب بالإضافة إلى قياس متوسط سرعة أمواج الفص.

الجدول (٨) ملخص الأدوات والمتغيرات ونوع المسح السيسزمي المستخدم في الأعمال الحقلية.

Survey type	Passive MASW
Source	Ambient Cultural Activities
Seismograph	PASI -16S24/ Italy Made
Receiver array	Linear, Triangle, L shape
Profile Length (D)	{(23,46) (20,30) (20,30)}m
Geophones	{(24)4,7,10) (9,11)} / vertical / 4.5
Receiver spacing (dx)	(1, 2) m for Linear only
Source offset	-----
Sampling Interval	(0.25, 1, 2) ms
Recording time	(8192, 16339, 32678) ms
No. of records	22 - 30

يعرض الشكلان (٤٩،٤٨) أنواع طريقة تحليل متعدد القنوات غير النشطة، وترتيب اللواقط فيها حيث إن طول البروفيل في أحاديثة البعد (خطية) ٢٣ م أو ٤٦ م، وطول البروفيل في ثنائية البعد يساوي ٢٠ م أو ٣٠ م ويمثل طول ضلع المثلث متساوي الأضلاع أو طول ضلع حرف L (L) قائم الزاوية.

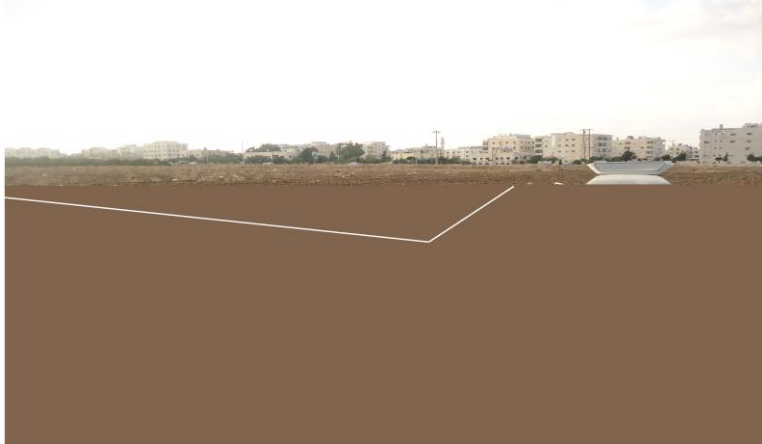




ج) ثنائية البعد شكل مثلث (Triangle Shape).
الشكل (٤٨) أشكال طرائق تحليل متعدد القنوات غير النشطة المستخدمة.



أ) طريقة تحليل متعدد القنوات غير النشطة احادية البعد خطية.



ب) طريقة تحليل متعدد القنوات غير النشطة ثنائية البعد حرف L.



ج) طريقة تحليل متعدد القنوات غير النشطة ثنائية البعد مثلث الشكل.

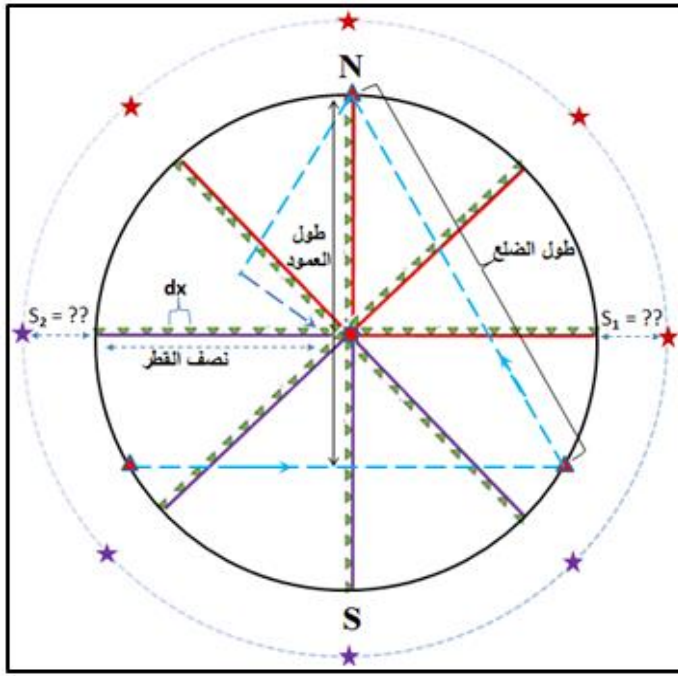
الشكل (٤٩) صور للأعمال الحقلية التجريبية لطرائق تحليل متعدد القنوات غير النشطة.

تم التوصل إلى أن طريقة تحليل متعدد القنوات غير النشطة الخطية أحادية البعد (ريمي) هي الأمثل والأفضل لتنفيذ الأعمال الحقلية وجمع البيانات السيسزمية اللازمة في هذه الدراسة لأنها الأسهل وأسرع في التنفيذ في المناطق الحضرية بالإضافة إلى تنفيذها بنفس الإعدادات والتجهيزات المستخدمة في طريقة تحليل متعدد القنوات النشطة أي بنفس ترتيب اللواقط وأبعادها، وطول البروفيل، كما أنها حققت عمق التحري السيسزمي المطلوب (٣٠م) ولا سيما في البروفيلات التي طولها ٦٤م.

أما الطرائق غير النشطة الأخرى ثنائية البعد (مثلث، حرف L) معظمها لم يحقق عمق التحري السيسزمي المطلوب إلا إذا كان طول البروفيل كبيراً، بالإضافة إلى صعوبة تنفيذها بعض الشيء بسبب إعادة تشكيل وترتيب اللواقط عند استخدامها لقياس السرعة الوسطية لامواج العرضية للطبقات السطحية العميقة بعد الإنتهاء من استخدام طريقة تحليل متعدد القنوات النشطة، مما يزيد في الجهد والتكليف.

يبين الشكل (٥٢) النظام الدائري والذي يوضح العلاقة التي تربط كلاً من طرائق تحليل متعدد القنوات النشطة وغير النشطة من حيث طول البروفيلات التي يجب معرفته عند استخدام إحدى طرائق تحليل متعدد القنوات غير النشطة، ولا سيما ثنائية البعد مع طريقة تحليل متعدد القنوات النشطة الخطية للحصول على عمق التحري السيسزمي المطلوب.

يمثل قطر الدائرة في النظام الدائري طول البروفيل لطريقة تحليل متعدد القنوات النشطة وغير النشطة الخطية دائرية الشكل، في حين يمثل نصف قطر الدائرة طول البروفيل لطريقة تحليل متعدد القنوات غير النشطة ثنائية البعد حرف L (L) الناتجة من تعامد نصفي قطر الدائرة، وتكون السرعة الوسطية للطبقات السطحية الواقعة عند مركز الدائرة، أي منتصف البروفيل في كل الطرائق، أما طول البروفيل في الطريقة مثلثة الشكل فإنه يساوي طول ضلع المثلث، فما طول البروفيل الأمثل لها؟



الشكل (٥٢) طرائق تحليل متعدد القوتوس غير النشطة وعلاقتها مع بعضها بعضا.

٦-٢-٣ خلاصة الأعمال الحقلية السismية التجريبية .

يعرض الجدول (١٠) ملخصا لأهم التجهيزات والإعدادات والمتغيرات التي تم الاعتماد عليها بعد الانتهاء من الأعمال الحقلية السزمية التجريبية، حيث بينت التجارب الحقلية إن هذه البارامترات هي الأمثل والأفضل وتم استخدامها في الأعمال الحقلية السزمية الرئيسة لتحصيل المعطيات السزمية.

الجدول (١٠) ملخص الأدوات والتجهيزات ونوع المسح المستخدم في الأعمال الحقلية السزمية.

Survey type	Active MASW	Passive MASW (ReMi)
Seismograph	PASI -16S24/Itali Made	PASI - 16S24/Itali Made
Geophones	24/ vertical /4.5 Hz	24/ vertical /4.5 Hz
Source	7.2 Kg Hummer	Ambient Cultural Activities
Receiver array	Linear	Linear
Profile Length (D)	46 m	46 m
Receiver spacing (dx)	2 m	2 m
Source offset (S)	± 7 m	----
Shape of Used Plate	Naily Plate No (3)	----
Sampling Interval	0.5 ms	2 ms
Recording time	1024 ms	32678 ms
No. of records	1 at each side (10 Stack)	22 - 30

كما بينت نتائج الأعمال الحقلية السزمية التجريبية أن متوسط عمق صخر الأساس يساوي ٢١ م في المنطقة رقم (١) ويميل تدريجيا نحو الشمال والشمال الشرقي، وعدد الطبقات السطحية في التعاقب الطيفي لا يقل عن ٧ طبقات وتختلف في السرعة العرضية مع العمق.

تحقق عمق التحري السيزمي المطلوب (٣٠ م) في البروفيلات التي طولها يساوي ٦٤ م حيث المسافة بين الواقط تساوي ٢م وذلك باستخدام الطريقة الانكسارية الدقيقة (ريمي) والتي تعد الطريقة الأمثل من بين الطرائق غير النشطة الأخرى وكذلك باستخدام طريقة تحليل متعدد القنوات النشطة مع البلاطة المسمارية كمنبع سيزمي صنعي يقع على بعد (± 7 م) من البروفيل دون التقيد بالاتجاه الجغرافي لطول البروفيل؛ لأن النتائج بينت أن السرعة الوسطية للأمواج العرضية لم يتاثر بتغير اتجاه البروفيل جغرافياً في المنطقة الواحدة.

٣-٣- الأعمال الحقلية السيزمية الرئيسة لجمع المعطيات السيزمية.

بعد إكمال وتنبيت بارامترات الأعمال الحقلية تم تنفيذ جميع البروفيلات السيزمية المطلوبة في منطقة الدراسة الموزعة على رقعة مساحتها ٤٤ كم^٢ باستخدام طريقة تحليل متعدد القنوات للأمواج السطحية النشطة وغير النشطة (ريمي) وفق الإعدادات والتجهيزات الموضحة بشكل عام في الجدول (١٠) وذلك لجمع المعطيات السيزمية اللازمة والحصول على السرعة الوسطية للأمواج (القصبة) العرضية للطبقات السطحية حتى عمق ٣٠ م، حيث تم تنفيذ الأعمال الحقلية في أوقات مختلفة من السنة مع مراعاة الدورة الزراعية في المنطقة، وكان العدد الإجمالي للبروفيلات ١١٩ بروفيلاً موزعة في منطقة الدراسة بشكل شبكي منتظم كما في الشكل (٥٦)، مع استثناء (٣) بروفيلات كان طولها ٣٤.٥ م والمسافة بين الواقط ١.٥ م و(٤) بروفيلات كان طولها ٢٣ م والمسافة بين الواقط ١م، وبعد المنبع السيزمي في كلا الحالتين الأخيرتين كان يساوي ±٥ م، بالإضافة إلى الإحداثيات الجغرافية المدرجة لجميع البروفيلات بوحدات (Universal Transverse Mercator/UTM).

يُعد تحديد واختيار موقع البروفيل من أهم العوامل المهمة في جمع المعطيات السيزمية والأعمال الحقلية، حيث تمت الاستعانة بصورة فضائية لمنطقة الدراسة المقسمة إلى مربعات متساوية الأبعاد من Google Earth مطبوعة ورقياً أبعادها ٦٠ سم × ٨٠ سم لتحديد مواقع البروفيلات الأمثل آخذين بعين الاعتبار كل من الأمور التالية:

- ١- جيولوجية وتضاريس المنطقة.
- ٢- مساحة الرقعة المتوفرة وأبعادها.
- ٣- المسافة بين البروفيلات والسبور المحفورة في المنطقة والمناطق المجاورة (≥ 500 م).

الفصل الرابع: معالجة وتفسير المعطيات السismية.

٤-١- مقدمة.

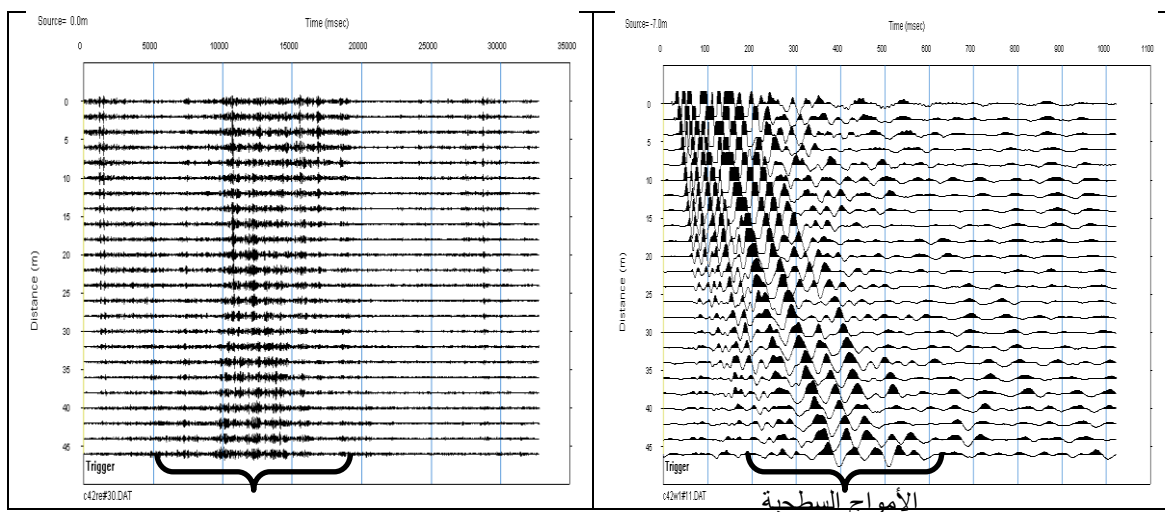
هناك العديد من البرمجيات التي تستخدم لمعالجة المعطيات السزمية المسجلة باستخدام طريقة المسح السزمي ماسو وأهمها: برمجية سيرف سايز (SurfSeis)، برمجية ماسو ٢٠٠٧ (MASW2007) وبرمجية سايز إمجر (SeisImager) وبرمجية راداكسبرو (radexpro) وبرمجية وين سايز (Winseis). وجميع البرمجيات تعتمد في معالجتها لسرعة طور أمواج رايلي على خاصية التشتت التي تميز فيها الأمواج السطحية عند انتقالها في الطبقات السطحية.

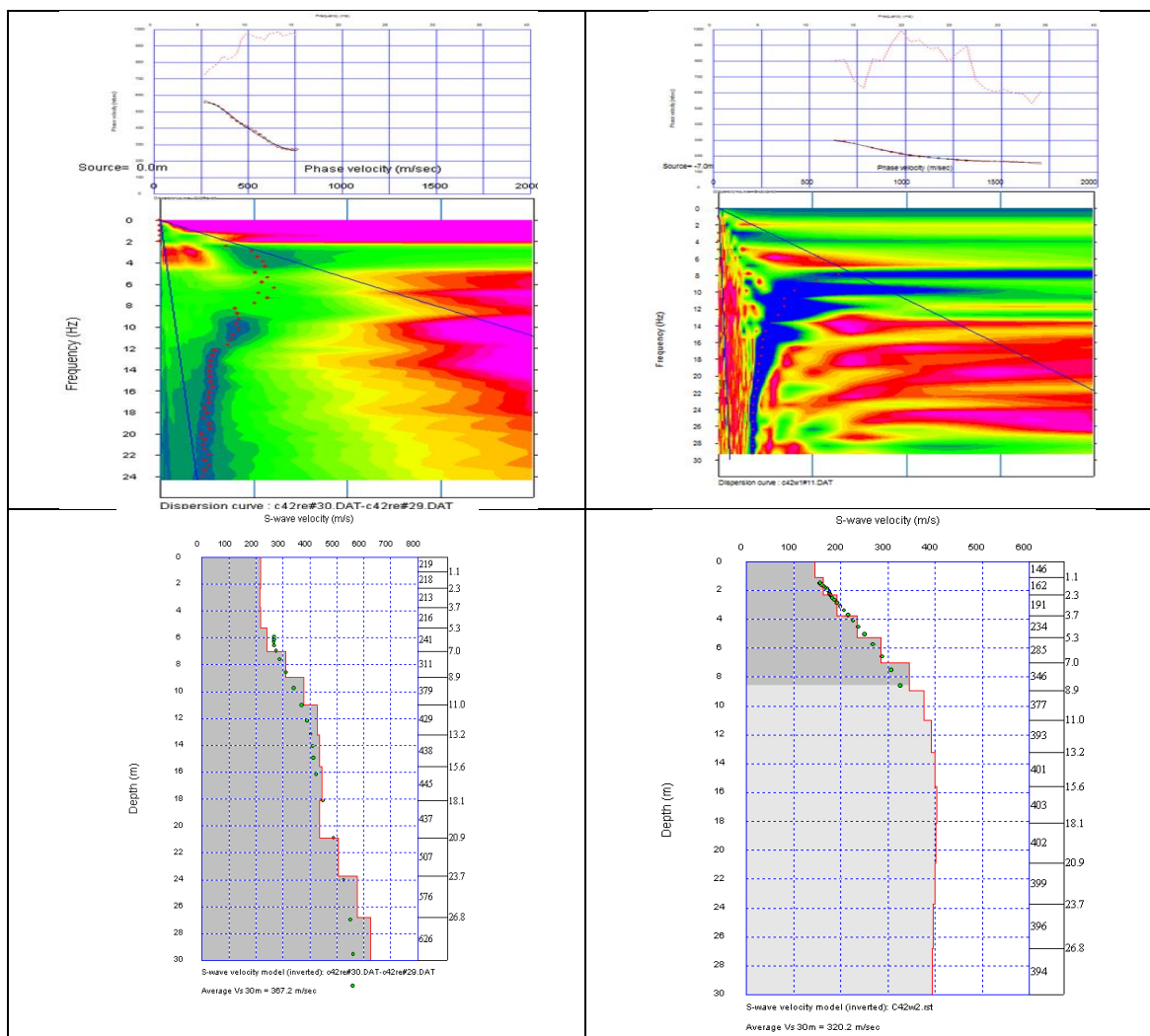
٤-٢- معالجة المعطيات السزمية.

تمت معالجة المعطيات السزمية باستخدام برمجية سايز إمجر، حيث تستخدم هذه البرمجية لمعالجة المعطيات السزمية المسجلة بطريقة ماسو النشطة أحادية البعد وثنائية البعد وماسو غير النشطة بجميع أنواعها حيث استخدمت برمجية سايز إمجر في هذه الدراسة فقط لمعالجة ماسو أحادية البعد النشطة وغير النشطة (ريمي)، وتشمل مرحلة معالجة المعطيات السزمية التي تمت أوتوماتيكيا الخطوات التالية:

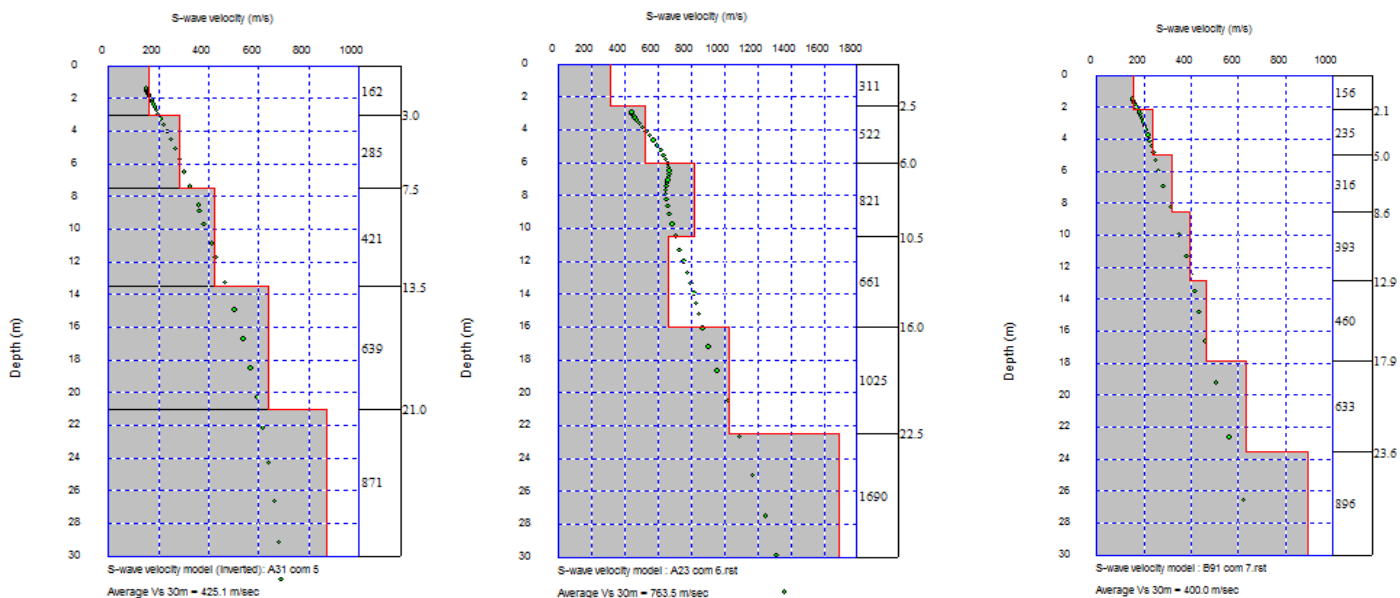
- ١- فتح ملف السزموغرام بامتداد (dat) وتحويله إلى امتداد (SEG2)، انظر الملحق (أ-١).
- ٢- بناء منحنى التشتت من خلال حساب سرعة الطور لأمواج رايلي.
- ٣- حساب سرعة الأمواج العرضية بقلب منحنى التشتت (ورد سابقا).

بعد الانتهاء من مرحلة معالجة المعطيات السزمية المبينة في الشكل (٥٧)، يتم الحصول على المقاطع النهائية التي تمثل السرعة الوسطية للأمواج العرضية مع العمق حتى ٣٠ م، ومثال ذلك الشكل (٥٨).





الشكل (٥٧) مراحل وخطوات معالجة المعطيات السيزمية باستخدام برمجية سايز اجر.



الشكل (٥٨) مقاطع نهائية للترية تمثل سرعة الأمواج (القصبة) العرضية مع العمق.

حيث تستخدم المعادلة (٦) لحساب السرعة الوسطية للأمواج العرضية للعمق المطلوب (VsH):

$$(6) \quad VsH = \sum_{i=1}^N hi / \sum_{i=1}^N (hi/vi)$$

حيث إن $H = 30$ م (تعرض في المعادلة ٦) فتصبح المعادلة (٧) لحساب السرعة الوسطية للأمواج (القصبة) العرضية لعمق ٣٠ م.

$$(7) \quad Vs_{30} = 30 / \sum_{i=1}^N (hi/vi)$$

حيث إن: (H) عمق التحري الكلي المطلوب بالمتر.

($hi \cdot vi$) السرعة العرضية في الطبقة i ، سمك الطبقة بالметр، على الترتيب.

٤-٣- تفسير المعطيات السيزمية.

تستخدم طريقة (MASW) على نطاق واسع في الدراسات السيزموجيوفينيسية والدراسات الجيوفينيسية والهندسة الزلزالية للمواد والطبقات القريبة من السطح ، وذلك من خلال:

١- قياس وتحديد السرعة الوسطية للأمواج العرضية (Vs_{30}) حقلياً والاعتماد عليها في جميع الدراسات أكثر من المعاملات الديناميكية المقاسة مخبرياً لأنها تعكس خصائص التربة الحقيقية.

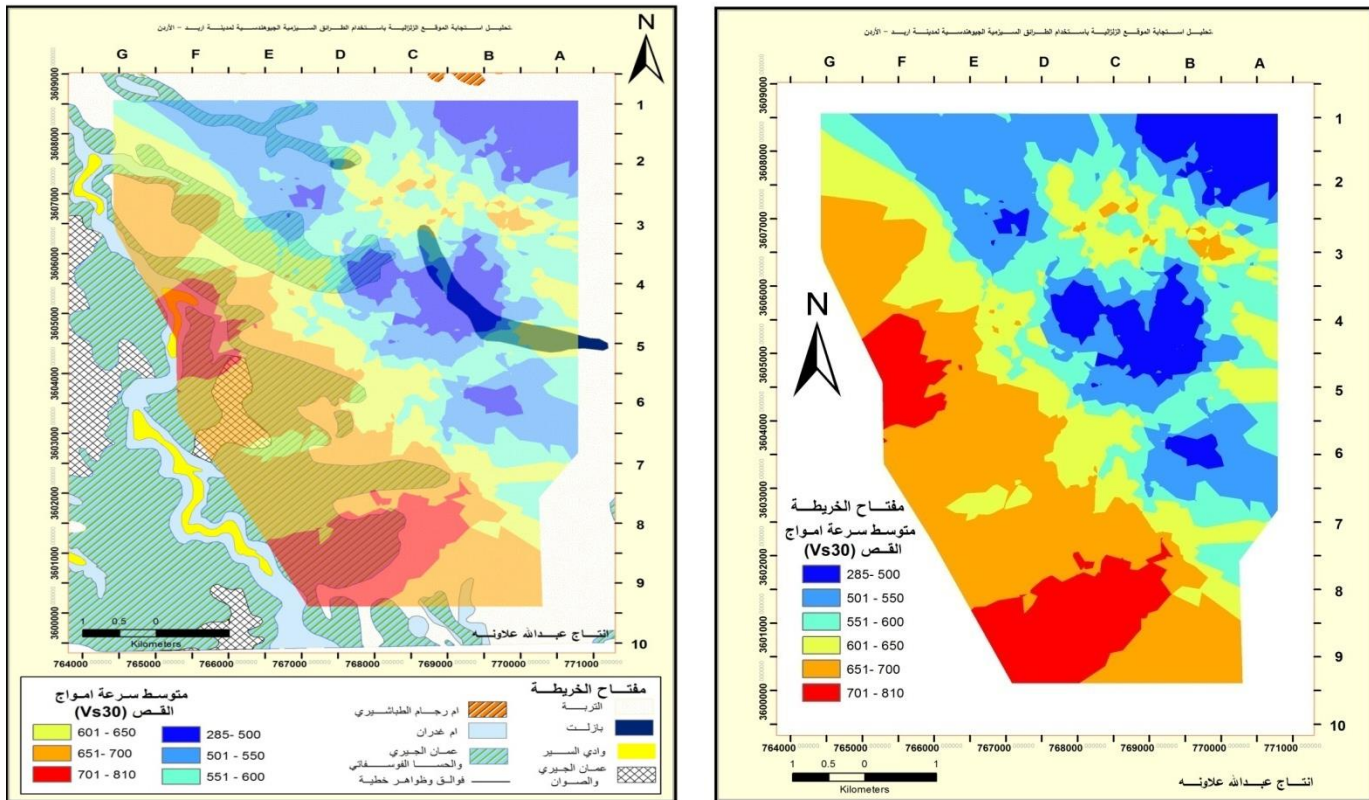
٢- حساب معاملات المرنة وتقييم خصائص التربة وتحديد قساوتها اعتماداً على السرعة الوسطية للأمواج (القصبة) العرضية وذلك بدلالة كل من المعاملات التالية:

- معامل القص (G). - معامل يونغ (E). - معامل بواسون (σ). - الكثافة (ρ).

٤-٣-١- توزيع السرعة الوسطية للأمواج (القصبة) العرضية (Vs_{30}).

تعد سرعة الأمواج العرضية من أهم المتغيرات المستخدمة في دراسة وتقييم الخصائص الديناميكية للتربة والطبقات السطحية واستخدامها في تصنيف التربة والموقع وتقييمها إلى أنطمة صغيرة لأن وصف الموقع وتصنيفها يدخل في حسابات المخاطر الزلزالية.

يعرض الشكل (٥٩) الخريطة الكنتورية الناتجة من القياسات السيزمية المنفذة في ١١٩ موقع باستخدام طريقة ماسو معظمها والتي توضح توزيع السرعة الوسطية للأمواج العرضية (Vs_{30}) في منطقة الدراسة، و الإبعاد قدر الإمكان عن الطريقة الانكسارية التقليدية وذلك لصعوبة استخدامها في المناطق الحضرية مثل مدينة إربد لعدة أسباب منها: وجود ضجيج عالي ناتج عن حركة المرور وغيرها، عدم إمكانية تحديد الطبقات الواقعية ذات السرعة المنخفضة، وتحتاج لمساحات ومسافات كبيرة لتنفيذ بروفيلاط طويلة للحصول على عمق تحرّك كبير وتحقيق العمق المطلوب ٣٠ م لمثل هذه الدراسة، وهذا ما يتعرّض له وجوده وتنفيذها في المناطق الحضرية.



الشكل (٥٩) توزيع السرعة الوسطية للأمواج العرضية (Vs30). الشكل (٦٠) توزيع السرعة الوسطية للأمواج العرضية مع تباين جيولوجية المنطقة.

وكنتيجة يمكن تقسيم منطقة الدراسة إلى ثلاثة أقسام رئيسة اعتماداً على السرعة الوسطية للأمواج العرضية في المنطقة وعلى تباين تضاريس المنطقة وجيولوجيتها، وذلك على النحو التالي:

١- المنطقة الأولى (عالية السرعة): تمثل منطقة الهضاب والتي تقع في الجزء الغربي والجنوبي الغربي من منطقة الدراسة وتمتد على شكل شريط عريض في الجهة الجنوبية والجنوبية الشرقية ويتناقص باتجاه الزاوية الشمالية الغربية، وتمتاز المنطقة بتكتشاف الصخور، لذا فإن السرعة الوسطية للأمواج العرضية فيها عالية تتراوح ما بين ٦٠٠-٨٠٠ م/ثاً ومعظمها ٦٥٠-٧٠٠ م/ثاً.

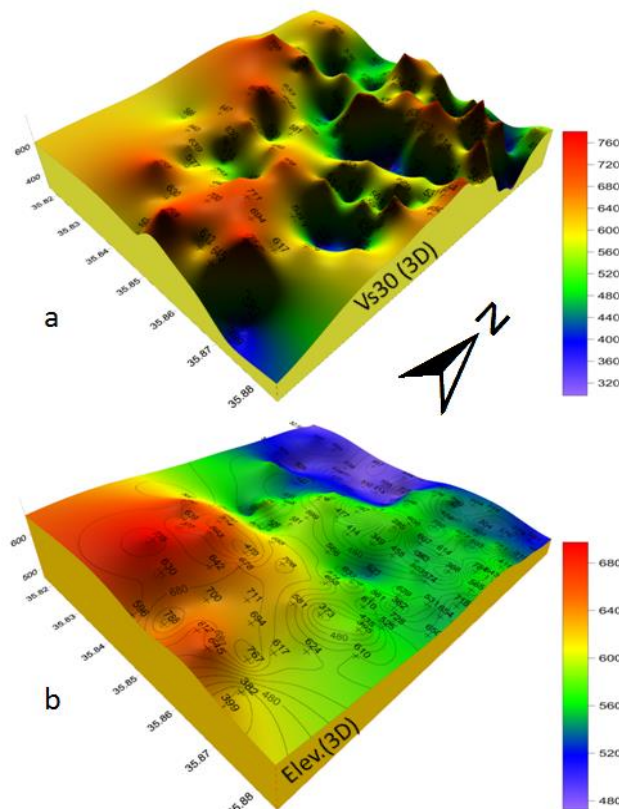
٢- المنطقة الثانية (متوسطة السرعة): وتمثل المنطقة الانتقالية بين منطقة السرعة العالية ومنطقة السرعة المنخفضة على شكل شريط ضيق غير منتظم ومتعرج الحواف متداخل بين المنطقتين يمتد من الزاوية الشمالية الغربية (العليا اليسرى) إلى الزاوية الجنوبية الشرقية (السفلى اليمنى)، والسرعة الوسطية للأمواج (القصبة) العرضية فيها يتراوح ما بين ٥٠٠-٦٥٠ م/ثاً.

٣- المنطقة الثالثة (منخفضة السرعة): تمثل المنطقة السهلية والأراضي الزراعية، والتي تظهر على شكل مثلث رؤوسه عند الزوايا الشمالية الغربية والشمالية الشرقية والجنوبية الشرقية، وتمتاز بسماكات كبيرة للترابة وصخر الأساس عميق قد يزيد عن ٣٠ أحياناً لذا فإن السرعة الوسطية للأمواج (القصبة) العرضية فيها يتراوح ما بين ٢٨٥-٥٠٠ م/ثاً، إلا أنه في

وسط هذه المنطقة تم تحديد هالة تمتاز بسرعة قص متوسطة تتصل مع المنطقة الثانية الانتقالية ويعود سبب ظهور الهالة في المنطقة إلى وجود البازلت بين الطبقات على شكل كتل صخرية مختلفة الحجم أو على شكل طبقات محدودة المساحة تنتشر في الأودية القديمة وتمتاز بسرعة قص تتراوح ما بين ٥٠٠-٦٥٠ م/ث.

ولو طابقنا هذه النتائج مع الخريطة الجيولوجية لمنطقة الدراسة نجد التطابق الكبير بين تقسيمات منطقة الدراسة اعتماداً على توزيع السرعة الوسطية للأمواج العرضية مع توزيع وتبين الصخور المختلفة والترابة في الخريطة الجيولوجية كما في الشكل (٦٠)، أي بمعنى أن منطقة السرعة العالية تطابقت مع وجود الهضاب ومع منطقة تكشف الصخور التي توضحها الخريطة الجيولوجية، أما منطقة السرعة المنخفضة تطابقت مع منطقة الانتشار الواسع للترابة الزراعية التي يظهر فيها البازلت أحياناً في مناطق مختلفة منها.

كما تطابقت النتائج مع الشكل الطبوغرافي، حيث يبين الشكل (٦١) البعد الثلاثي لتوزيع السرعة الوسطية (V_s) في منطقة الدراسة ومدى تطابقها وتماثلها مع التغير في ارتفاع سطح الأرض عن سطح البحر حيث تم جمع بيانات الارتفاعات من خلال الأعمال الحقلية باستخدام (GPS)، إذ تتوزع بشكل عام السرعة العالية في المناطق المرتفعة والسرعة القليلة في المناطق المنخفضة، أي إن المناطق المنخفضة ساعدت على عمليات الترسيب وزيادة سمكية عمود التربة فيها.



الشكل (٦١)(a) شكل ثلاثي الأبعاد يوضح توزيع السرعة الوسطية للأمواج العرضية.(b) شكل ثلاثي الأبعاد يبين الارتفاعات وتوزيع السرعة الوسطية للأمواج العرضية (Surfer).

٤-٣-٢- تصنیف التربة والموقع اعتماداً على (V_{S30}).

تم تحويل خريطة توزيع السرعة الوسطية للأمواج (القصبة) العرضية (V_{S30}) في منطقة الدراسة إلى خرائط تبين تصنیف التربة والموقع وأنواعها من خلال استخدام كودات البناء المعتمدة عالمياً والتي تعتمد في تقسيماتها وتصنیفها لأنواع التربة على السرعة الوسطية للأمواج (القصبة) العرضية؛ لأن وصف الموقع وتصنیفها يدخل في حسابات تقييم المخاطر الزلزالية، بالإضافة إلى استخدام كودات البناء الواردة في الجدول (١٣) بهدف تصاميم البناء لاستقرارها زلزاً، وذلك لتقليل المخاطر والآثار التدميرية الناتجة من حدوث زلزال مدمر بالمنطقة، حيث اعتمد التصنیفات العالمية التالية:

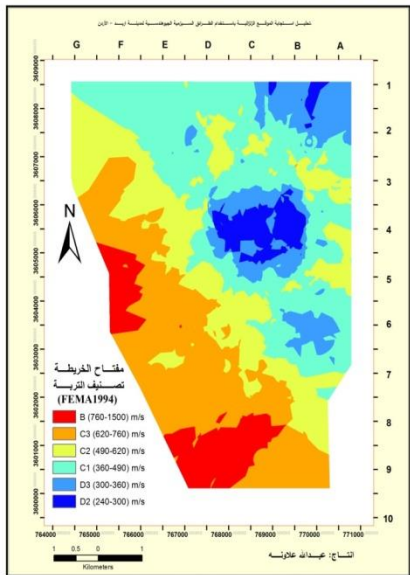
- ١- كود البناء العالمي (Universal Building Code/UBC)، تم اعتماد السرعة الوسطية للأمواج (القصبة) العرضية (V_{S30}) في تصنیف التربة من قبل NEHRP عام ١٩٩٧ [٤٥,١٤]، وبناء على هذا التصنیف تم الحصول على النتائج الواردة في الشکل (٦٢) الذي يمثل تصنیف التربة لمنطقة الدراسة وفق تصنیف UBC حيث بين أن المنطقة تنقسم إلى ثلاثة أقسام رئيسة معظمها تعود إلى الصنف (C) ومساحة صغيرة إلى (d,b).

- ٢- كود البناء الأوروبي (European Building8/EB8)، تم اعتماده للسرعة الوسطية للأمواج (القصبة) العرضية عام ٢٠٠٢ ، وباستخدام هذا الكود تم الحصول على النتائج الموضحة في الشکل (٦٣) الذي يمثل تقسیم منطقة الدراسة إلى قسمین رئیسین معظمها تتنتمي إلى الصنف (b) وبعضها ينتمي إلى الصنف (c).

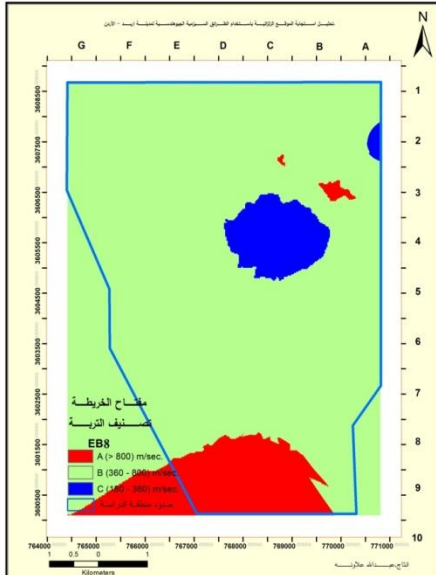
- ٣- كود البناء (FEMA) تم اعتماده أيضاً في تصنیف التربة عام ١٩٩٧ ويتماطل مع تصنیف UBC إلا إن السرعة الوسطية للأمواج (القصبة) العرضية تم تقسیم الصنفین (c,d) إلى أصناف فرعية حيث إن كل صنف أصبح ثلاثة أقسام، ويعرض الشکل (٦٤) نتائج تصنیف منطقة الدراسة التي تم تقسیمها إلى ستة أقسام رئيسة، والتي تعكس تشابهاً وتماثلاً كبيراً مع خريطة توزيع سرعة الأمواج (القصبة) العرضية (V_{S30}) أي أنها الأكثر تفصيلاً في تصنیف منطقة الدراسة مما يجعل المختصين أكثر قدرة على التعامل مع كل نوع من أنواع التربة وتحديد التصميم الأكثر ملاءمة.

الجدول (١٣) كودات البناء المعتمدة عالمياً في تصنیف التربة.

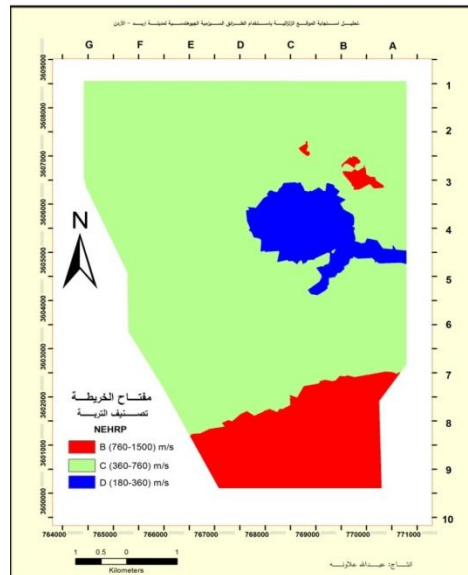
السرعة الوسطية للأمواج (القصبة) العرضية (V_{S30})		الوصف	التصنیف		
EB8	UBC & FEMA		EB8	FEMA	UBC
< ٨٠٠ مثا	< ١٥٠٠ مثا	صخر صلب جداً	A	A	A
	- ١٥٠٠ - ٧٦٠ مثا			B	B
٣٦٠ - ٨٠٠ مثا	- ٦٢٠ - ٦٢٠ مثا	صخر هش وترية ذات كثافة عالية جداً	B	C3	C
	- ٤٩٠ - ٤٩٠ مثا			C2	
	- ٣٦٠ - ٣٦٠ مثا			C1	
٣٦٠ - ١٨٠ مثا	- ٣٦٠ - ٣٦٠ مثا	ترية صلبة	C	D3	D
	- ٢٤٠ - ٢٤٠ مثا			D2	
	- ٢٤٠ - ١٨٠ مثا			D1	
> ١٨٠ مثا		ترية رخوة	D	E	E



الشكل (٦٤) تصنیف التربة وفق (FEMA).



الشكل (٦٢) تصنیف التربة وفق (EB8).



الشكل (٦٢) تصنیف التربة وفق (NEHRP/UBC).

٤-٤- المعطيات الجيوتقنية.

يبين الشكل (٦٥) توزيع السبور المحفورة في منطقة الدراسة وعدها ٨٥ سبرا التي تم جمعها من المكاتب الهندسية المختصة بحفر السبور لأغراض البناء، فمنها ما يتعلق بمشاريع حكومية ومنها لأغراض بحثية لنيل درجة الماجستير ومنها لأغراض المشاريع الخاصة مثل بناء المولات التجارية.

ويعرض الملحق (ب-٢) المعطيات الجيوتقنية التي تشمل خصائص مكونات التربة الديناميكية وقدرة تحملها الازمة في تصاميم البناء وتحديد عمق التأسيس، إذ إن دراسة سلوك الإجهادات والانفعالات للتربة تمت بشكل واسع في مجالات الدراسة الجيوتقنية والديناميكية للترابة والهندسة الزلزالية، وكانت الدراسات الجيوتقنية دائمًا توصي باستخدام معامل القص بدلاً من إجهاد القص كدالة عليه.

٤-٥- علاقة السرعة الوسطية للأمواج العرضية (VS_{30}) مع المعطيات الجيوتقنية.

زاد الاعتماد على قيمة سرعة الامواج العرضية (VS) في الدراسات الجيوهندسية أكثر من المعاملات الديناميكية المقاسة مخبرياً، لأنها تعكس الصورة الحقيقية للخصائص تحت اجهادات منخفضة وحساب معاملات المرونة وتقييم خصائص التربة وتحديد قساوتها بدلالة معامل القص، ومعامل يونغ، إذ يعد معامل القص (G) من الخصائص الأساسية للترابة الذي يستخدم في ايجاد الحلول الجيوتقنية المناسبة مثل التنبؤ بتسلوک التربة، وتوقع رد فعل بنية التربة لذا فان قياس السرعة الوسطية للأمواج العرضية في منطقة الدراسة يمثل طريقة جيدة ومناسبة لتحديد قساوة وصلابة التربة، وخصائص التربة المستخدمة في الدراسات الجيوهندسية والهندسة الزلزالية.

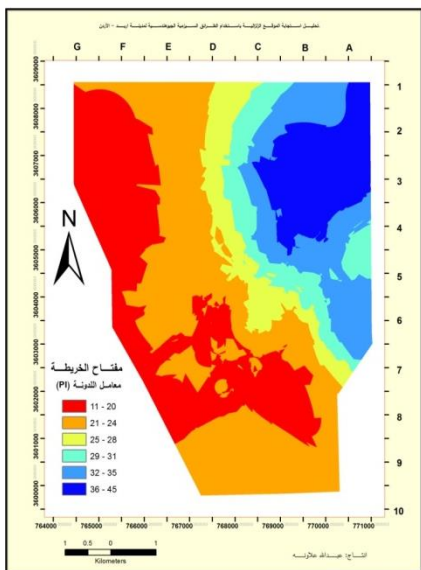
ما هي علاقة السرعة الوسطية للأمواج العرضية مع خصائص التربة والمتغيرات الجيوهندسية التي يتم دراستها في الأعمال المخبرية؟ ومن أهم هذه الخصائص:

- ١- حدود آتربيرغ (Atterberg Limits)، يمكن تصنیف التربة هندسياً اعتماداً على الحجم الحبي وحدود آتربيرغ، لذا يمكن دراسة العلاقة الإحصائية بين المتغيرات والسرعة الوسطية للأمواج العرضية المستخدم في تصنیف التربة، توزيع المتغيرات في منطقة الدراسة ومدى تطابقها مع توزيع (VS_{30}).

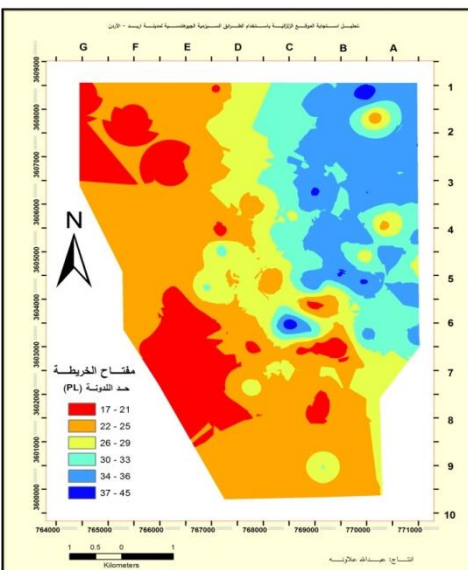
٢- النسبة المئوية للحجم الحبي (Soil Fabric)؛ إذ يعد نسيج التربة (Particle Size%) من أهم العوامل الرئيسة الذي يؤثر في القيمة الفعلية لمعامل القص (G) أي يؤثر في صلابة التربة.

٣- قدرة تحمل التربة وعمق التأسيس (Bearing Capacity and Depth of Embedment) وتعني صلابة التربة وقدرة تحملها للإجهادات والأحمال الواقعه عليها بفعل المبني والمنشآت التي ستقام عليها، حيث إن تصميم اختيار التأسيس للمبني والمنشآت بأنواعها يعتمد على قدرة تحمل التربة وعمق التأسيس الآمن.

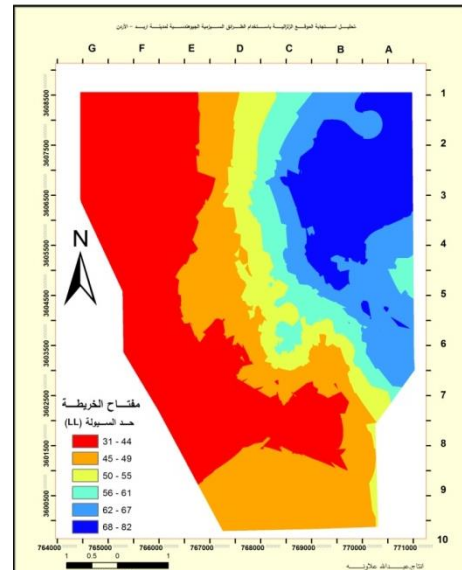
توضح الخرائط الكنتورية في الأشكال (٦٦، ٦٧، ٦٨، ٧١، ٧٢) النتائج التي تم التوصل إليها وتمثل في توزيع أهم الخصائص الجيوفنية للتربة والطبقات السطحية في منطقة الدراسة الذي يتغير كلما انتقلنا من الشرق إلى الغرب حيث إن المنطقة الشرقية تمتاز بزيادة النسبة المئوية للحجم الحبي الناعم مما أدى إلى زيادة حد السيولة واللدونة فيها ونقصان قدرة تحملها وزيادة عمق التأسيس أيضاً، أمّا المنطقة الغربية فتمتاز بزيادة الحجم الحبي الخشن فكان حد اللدونة أقل فيها، وقدرة تحملها أكبر، وعمق التأسيس فيها قليل، أي أن العلاقة عكسية بين قدرة التحمل وكل من الحجم الحبي الناعم وحدود آتربيغ وعمق التأسيس وتتناسب طردياً مع الحجم الحبي الخشن، وهذا التغير في توزيع خصائص التربة يتوافق مع توزيع السرعة الوسطية لامواج العرضية، أي أن توزيع السرعة الوسطية لامواج العرضية يعتمد على التغير في خصائص التربة وطبيعة توزيعها، فالتماثل بين المعطيات السيزمية والمعطيات الجيوفنية يدل على دقة النتائج وفاعلية الطريقة السيزمية المستخدمة، حيث المتغيرات الحقيلية كانت مناسبة جداً في هذه الدراسة.



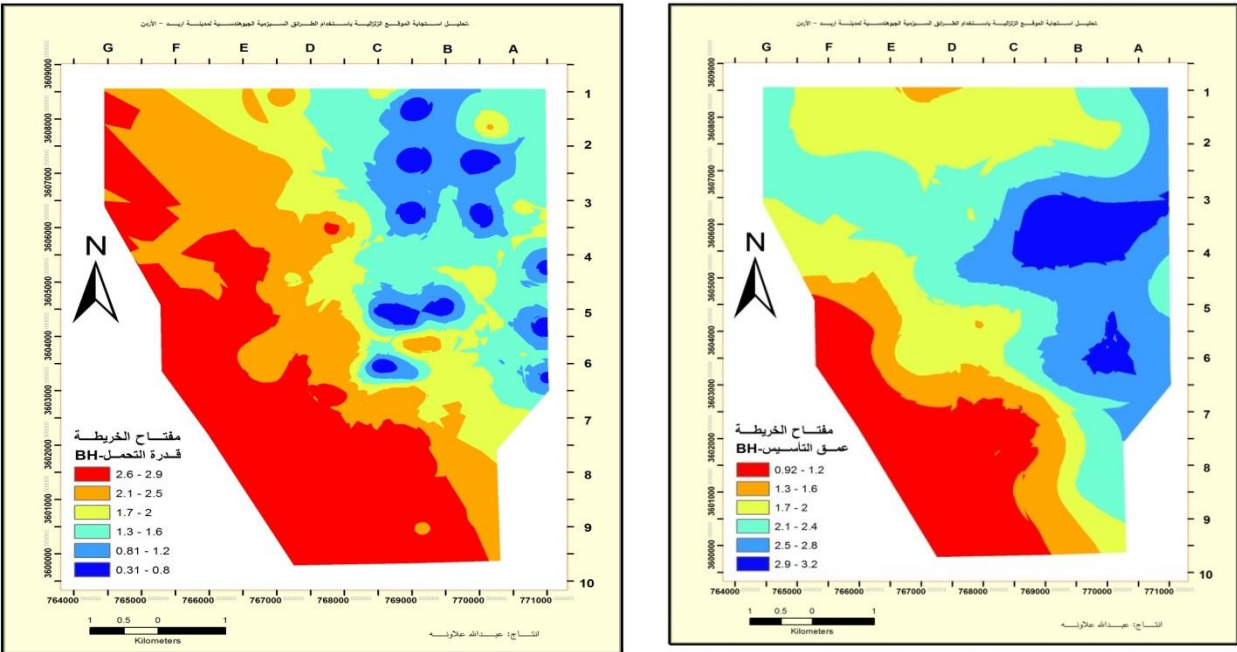
الشكل (٦٨) توزيع معامل اللدونة.



الشكل (٦٧) توزيع حد اللدونة.



الشكل (٦٦) توزيع حد السيولة.



الشكل (٧٢) توزيع عمق التأسيس.

الشكل (٧١) توزيع قدرة تحمل التربة.

وخلال هذه الدراسة تدل على صلاحية استخدام طريقة تحليل متعدد القنوات (ماسو) كطريقة فعالة في المسح السيزمي، حيث تعطي نتائج دقيقة يمكن استخدامها والاعتماد عليها لقياس المتغيرات الجيوتكنية في منطقة الدراسة.